



## بینایی کامپیوتری

درس ۱۱

# بازشناسی اشیا

Object Recognition

کاظم فولادی

دانشکده مهندسی، پردیس فارابی

دانشگاه تهران

<http://courses.fouladi.ir/vision>

## بازشناسی اشیا

### OBJECT RECOGNITION

بازشناسی اشیا: بازشناسی نواحی مجرای تصویر

ناحیه‌ی مجازی از تصویر

شیئ  
*Object*

بازشناسی اشیا

۱

# الگوها و طبقه‌های الگو

## الگوهای طبقه‌های الگو

### PATTERNS AND PATTERN CLASSES

الگو یک پدیده دارای نظم است.  
(مفهومی ذهنی، معمولاً دارای یک نام)

الگو  
Pattern

توصیفگر الگو

ویژگی  
Feature

خانواده‌ای از الگوهای که در تعدادی خصوصیت مشترک هستند

طبقه‌ی الگو  
Pattern Class

نسبت‌دهی الگوهای طبقه‌های متضاد با آنها

بازشناسی الگو  
Pattern Recognition

خوشه‌بندی  
Clustering

طبقه‌بندی  
Classification

بازشناسی با هدف دسته‌بندی الگوهای  
در خوشه‌های از پیش نامعلوم (اما معیار شماتیک معلوم)

بازشناسی با هدف دسته‌بندی الگوهای  
در طبقه‌های از پیش معلوم

## بازشناسی الگو

رویکردها

رویکرد ساختاري  
*Structural Approach*

رویکرد آماري  
*Statistical Approach*

رویکرد نظریه تصمیمي  
*Decision-Theoretic Approach*

رویکرد عصبی  
*Neural Approach*

## چیدمان الگوهای

### PATTERN ARRANGEMENTS

چیدمان الگوهای Pattern Arrangements			
گراف <i>Graph</i>	درخت <i>Tree</i>	رشته <i>String</i>	بردار <i>Vector</i>
برای توصیف‌های ساختاری			برای توصیف‌های کمی

## بردار ویژگی

FEATURE VECTOR

$$\mathbf{x} = \begin{bmatrix} x_1 \\ x_2 \\ \vdots \\ x_n \end{bmatrix}$$

توصیف‌گر  $i$  ام برای الگو  $x_i$   
تعداد کل توصیف‌گرها  $n$

$$\mathbf{x} = (x_1, x_2, \dots, x_n)^T$$

## مسئله‌ي طبقه‌بندی الگو

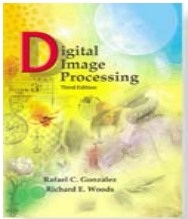
PATTERN CLASSIFICATION

$$\omega_1, \omega_2, \dots, \omega_W$$

طبقه‌های الگو  
Pattern Classes

W تعداد طبقه‌های الگو است.

X متعلق به کدام طبقه است؟



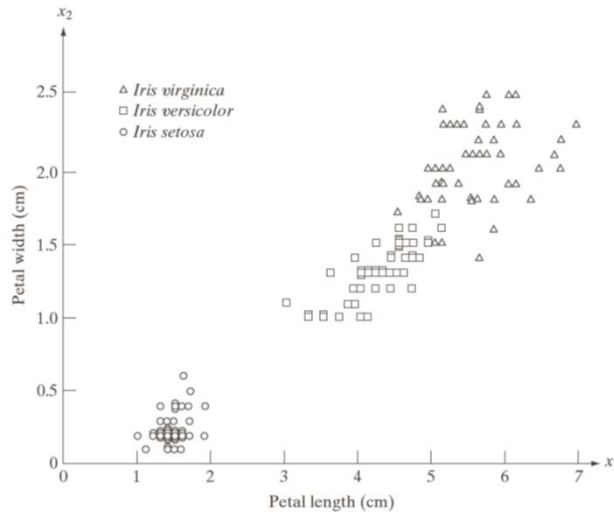
# Digital Image Processing, 3rd ed.

Gonzalez & Woods

[www.ImageProcessingPlace.com](http://www.ImageProcessingPlace.com)

## Chapter 12

### Object Recognition



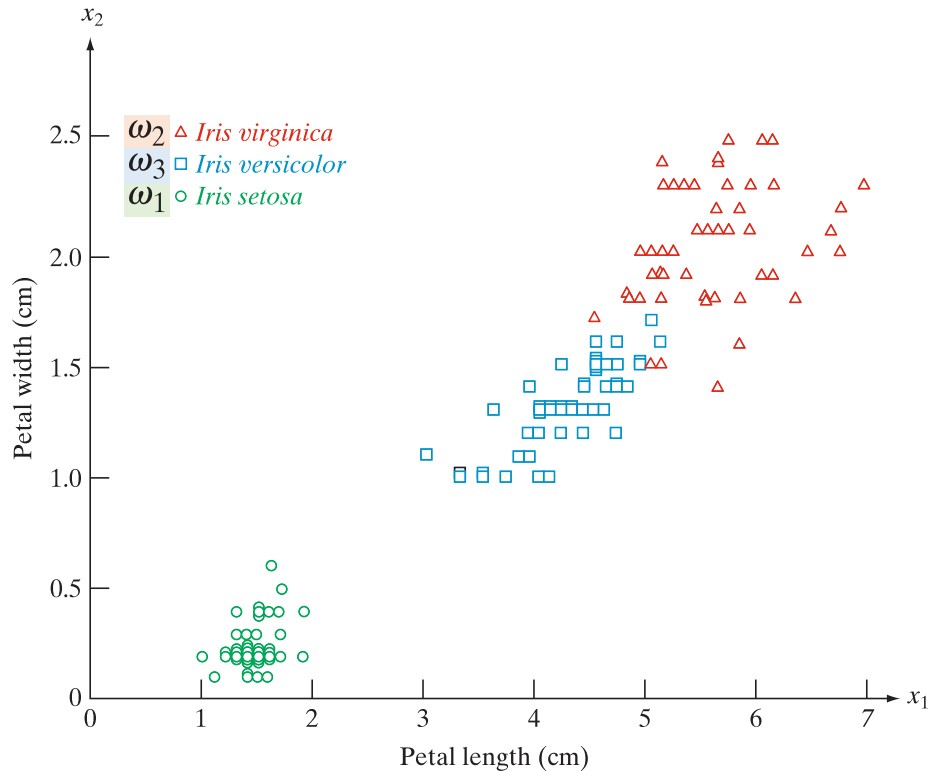
**FIGURE 12.1**

Three types of iris flowers described by two measurements.

## مسئله‌ی طبقه‌بندی الگو

مثال: مسئله‌ی بازشناسی سه نوع گل سوسن (بازنمایی با بردار ویژگی)

### PATTERN CLASSIFICATION



بردار ویژگی:

$$\mathbf{x} = \begin{bmatrix} x_1 \\ x_2 \end{bmatrix}$$

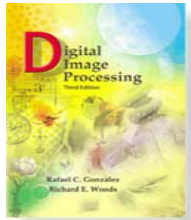
طول گلبرگ  
عرض گلبرگ

طبقه‌ها الگو:

$\omega_1$

$\omega_2$

$\omega_3$

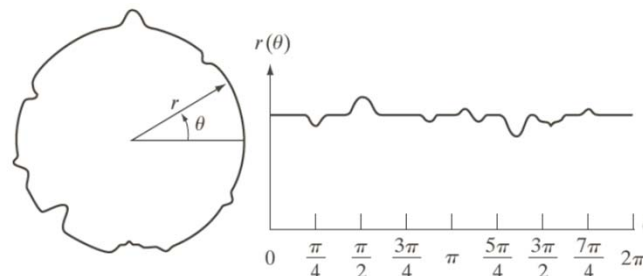


# Digital Image Processing, 3rd ed.

Gonzalez & Woods

[www.ImageProcessingPlace.com](http://www.ImageProcessingPlace.com)

## Chapter 12 Object Recognition



a b

**FIGURE 12.2**  
A noisy object  
and its  
corresponding  
signature.

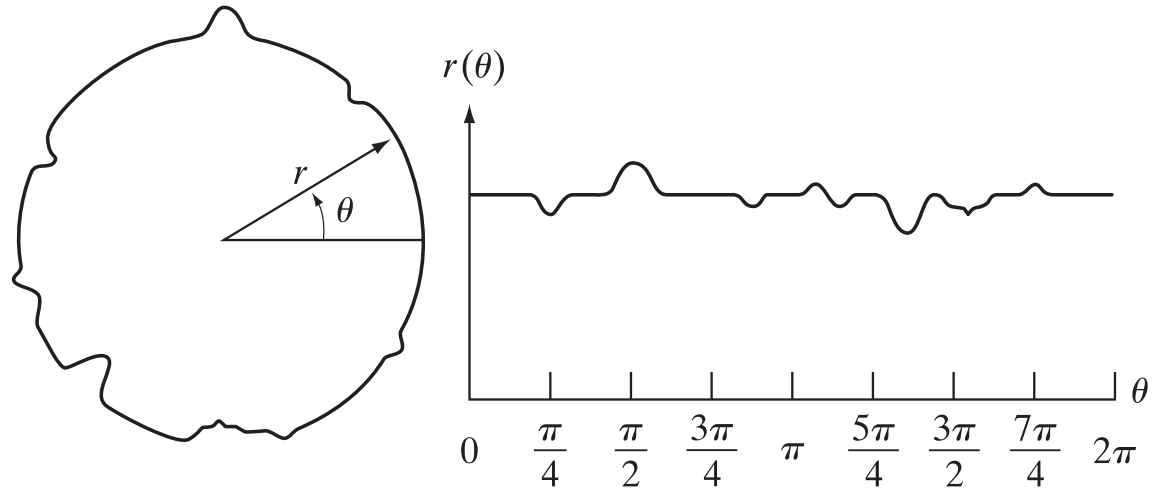
## مسئله‌ی طبقه‌بندی الگو

مثال: تولید بردار ویژگی

### PATTERN CLASSIFICATION

#### امضا به عنوان ویژگی

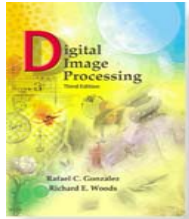
یک شیء دارای نویز و امضا متناظر با آن



$$\mathbf{x} = \begin{bmatrix} x_1 \\ x_2 \\ \vdots \\ x_n \end{bmatrix} \quad \theta_1, \theta_2, \dots, \theta_n$$

$$x_1 = r(\theta_1), x_2 = r(\theta_2), \dots, x_n = r(\theta_n)$$

می‌توان مثلاً از گشتاورهای آماری امضا به عنوان ویژگی استفاده کرد و ...



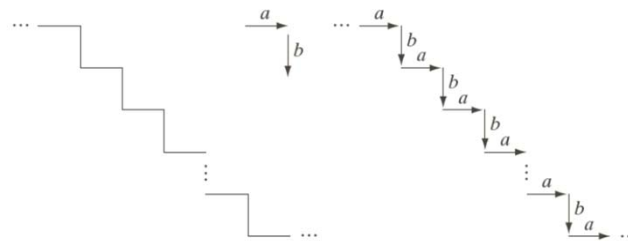
# Digital Image Processing, 3rd ed.

Gonzalez & Woods

[www.ImageProcessingPlace.com](http://www.ImageProcessingPlace.com)

## Chapter 12

### Object Recognition



a b

**FIGURE 12.3**  
(a) Staircase structure.  
(b) Structure coded in terms of the primitives  $a$  and  $b$  to yield the string description  $\dots ababab \dots$

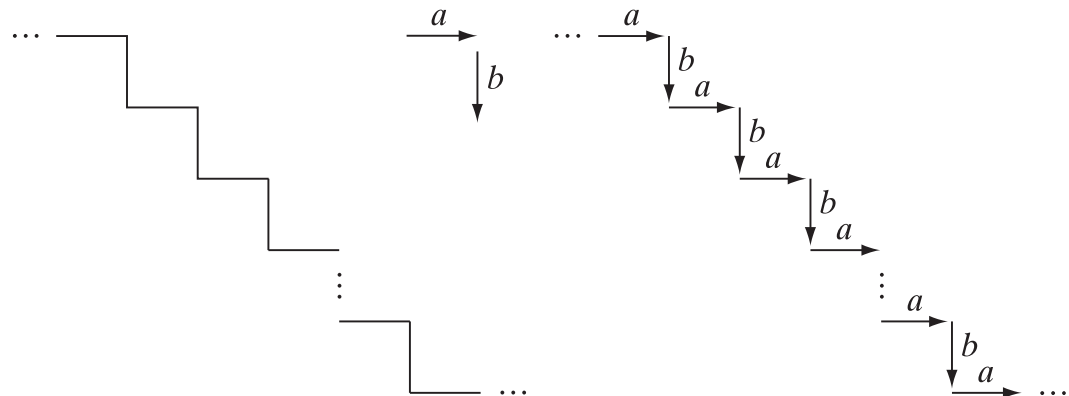
## مسئله‌ی طبقه‌بندی الگو

مثال: تولید رشته ویژگی

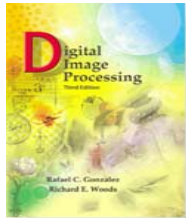
PATTERN CLASSIFICATION

a b

- (a) Staircase structure.  
 (b) Structure coded in terms of the primitives  $a$  and  $b$  to yield the string description  
 $\dots ababab \dots$



$$w = \dots abababab \dots$$



# Digital Image Processing, 3rd ed.

Gonzalez & Woods

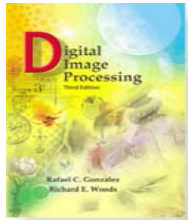
[www.ImageProcessingPlace.com](http://www.ImageProcessingPlace.com)

## Chapter 12

### Object Recognition



**FIGURE 12.4**  
Satellite image of a heavily built downtown area (Washington, D.C.) and surrounding residential areas. (Courtesy of NASA.)

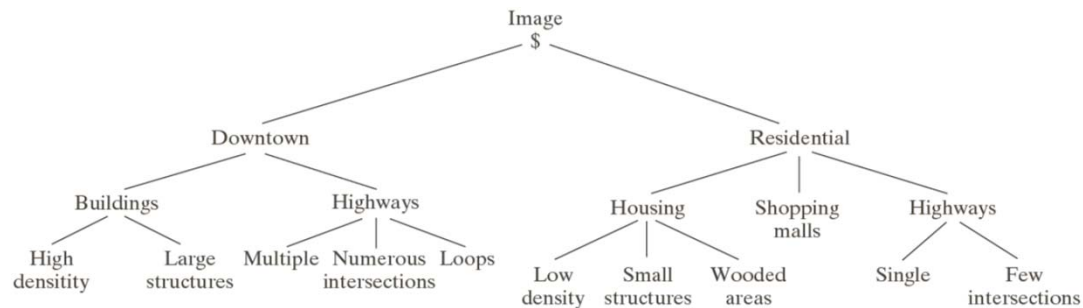


# Digital Image Processing, 3rd ed.

Gonzalez & Woods

[www.ImageProcessingPlace.com](http://www.ImageProcessingPlace.com)

## Chapter 12 Object Recognition



**FIGURE 12.5** A tree description of the image in Fig. 12.4.

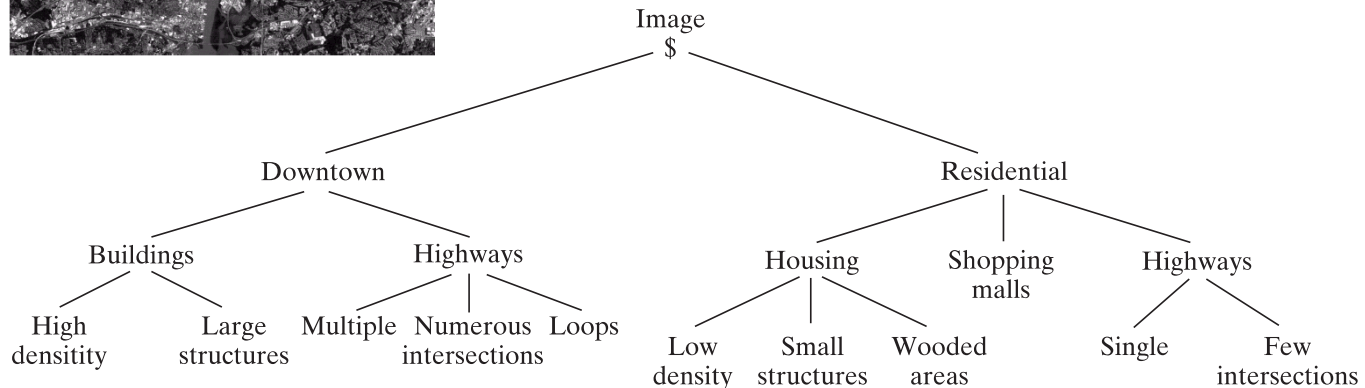
## مسئله‌ی طبقه‌بندی الگو

مثال: تولید درخت ویژگی

### PATTERN CLASSIFICATION



Satellite image of a heavily built downtown area (Washington, D.C.) and surrounding residential areas.



بازشناسی اشیا

۲

بازشناسی  
بر اساس  
روش‌های  
نظریه-  
تصمیمی

## بازشناسی مبتنی بر روش‌های نظریه-تصمیمی

### RECOGNITION BASED ON DECISION-THEORETIC METHODS

رویکردهای نظریه-تصمیمی به بازشناسی، بر استفاده از توابع تصمیم (تفکیک) مبتنی هستند.

فرض می‌کنیم

$$\mathbf{x} = (x_1, x_2, \dots, x_n)^T$$

یک بردار ویژگی الگوی  $n$ -بعدی را بازنمایی کند.

مسئله‌ی پایه در بازشناسی الگوی نظریه-تصمیمی برای  $W$  طبقه‌ی الگوی

$$\omega_1, \omega_2, \dots, \omega_W$$

یافتن  $W$  تابع تصمیم

$$d_1(\mathbf{x}), d_2(\mathbf{x}), \dots, d_W(\mathbf{x})$$

با این ویژگی است که اگر الگوی  $\mathbf{x}$  متعلق به طبقه‌ی  $i$  باشد، آن‌گاه

$$d_i(\mathbf{x}) > d_j(\mathbf{x}) \quad j = 1, 2, \dots, W; j \neq i$$

$$d_1(\mathbf{x}), d_2(\mathbf{x}), \dots, d_W(\mathbf{x})$$

تابع‌های تصمیم (تفکیک)  
*Decision (Discriminant) Functions*

## بازشناسی مبتنی بر روش‌های نظریه-تصمیمی

مرز تصمیم

RECOGNITION BASED ON DECISION-THEORETIC METHODS

مرز تصمیم، طبقه‌ی  $\omega_i$  را از طبقه‌ی  $\omega_j$  بر اساس مقادیر  $\mathbf{x}$  جداسازی می‌کند.

**مرز تصمیم**  
*Decision Boundary*

$$d_i(\mathbf{x}) = d_j(\mathbf{x})$$

یا

$$d_i(\mathbf{x}) - d_j(\mathbf{x}) = 0$$

در عمل، مرز تصمیم بین دو طبقه توسط یکتابع واحد  $d_{ij}$  شناسایی می‌شود:

$$d_{ij}(\mathbf{x}) = d_i(\mathbf{x}) - d_j(\mathbf{x}) = 0.$$

$$\text{الگوی } \mathbf{x} \text{ متعلق به طبقه } \omega_i \quad d_{ij}(\mathbf{x}) > 0$$

$$\text{الگوی } \mathbf{x} \text{ متعلق به طبقه } \omega_j \quad d_{ij}(\mathbf{x}) < 0$$

## بازشناسی مبتنی بر روش‌های نظریه-تصمیمی

### تطابق

#### MATCHING

هر طبقه، یک بردار الگوی پروتوتاپ دارد.  
در عمل تطابق، هر بردار الگوی نامعلوم، به طبقه‌ای نسبت داده می‌شود که:  
**تطابق آن با پروتوتاپ آن بیشتر باشد**  
**(نیاز به معیار تطابق)**

$$\omega_1, \omega_2, \dots, \omega_W$$

طبقه‌های الگو  
*Pattern Classes*

$$\mathbf{m}_1, \mathbf{m}_2, \dots, \mathbf{m}_W$$

پروتوتاپ‌ها  
*Prototypes*

## بازشناسی مبتنی بر روش‌های نظریه-تصمیمی

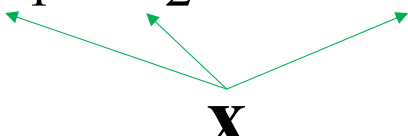
تطابق: طبقه‌بندی کننده‌ی می‌نیم-فاصله

### MATCHING: MINIMUM DISTANCE CLASSIFIER

هر طبقه، یک بردار الگوی پروتوتایپ دارد: بردار متوسط الگوهای آن طبقه در عمل تطابق، هر بردار الگوی نامعلوم، به طبقه‌ای نسبت داده می‌شود که: تطابق آن با پروتوتایپ آن بیشتر باشد: فاصله‌ی آن تا پروتوتایپ می‌نیم باشد.  
 (نیاز به معیار تطابق: فاصله)

$$\omega_1, \omega_2, \dots, \omega_W$$

طبقه‌های الگو  
Pattern Classes

$$\mathbf{m}_1, \mathbf{m}_2, \dots, \mathbf{m}_W$$


پروتوتایپ‌ها  
Prototypes

## بازشناسی مبتنی بر روش‌های نظریه-تصمیمی

تطابق: طبقه‌بندی کننده‌ی می‌نیم-فاصله

### MATCHING: MINIMUM DISTANCE CLASSIFIER

پروتوتایپ هر طبقه را به عنوان بردار متوسط الگوهای آن طبقه تعریف می‌کنیم:

$$\mathbf{m}_j = \frac{1}{N_j} \sum_{\mathbf{x} \in \omega_j} \mathbf{x}_j \quad j = 1, 2, \dots, W$$

(تعداد بردارهای الگوی متعلق به طبقه‌ی  $j$  است)

بردار نامعلوم  $\mathbf{x}$  به طبقه‌ای نسبت داده می‌شود که با پروتوتایپ آن کمترین فاصله را داشته باشد:

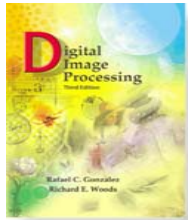
$$D_j(\mathbf{x}) = \|\mathbf{x} - \mathbf{m}_j\| \quad j = 1, 2, \dots, W \quad \|\mathbf{a}\| = (\mathbf{a}^T \mathbf{a})^{1/2}$$

انتخاب کمترین فاصله معادل با محاسبه‌ی توابع تصمیم زیر است (انتساب  $\mathbf{x}$  به بزرگترین  $d_j$ ):

$$d_j(\mathbf{x}) = \mathbf{x}^T \mathbf{m}_j - \frac{1}{2} \mathbf{m}_j^T \mathbf{m}_j \quad j = 1, 2, \dots, W$$

: مرز تصمیم برای تفکیک طبقه‌های  $\omega_i$  و  $\omega_j$

$$\begin{aligned} d_{ij}(\mathbf{x}) &= d_i(\mathbf{x}) - d_j(\mathbf{x}) \\ &= \mathbf{x}^T (\mathbf{m}_i - \mathbf{m}_j) - \frac{1}{2} (\mathbf{m}_i - \mathbf{m}_j)^T (\mathbf{m}_i + \mathbf{m}_j) = 0 \end{aligned}$$



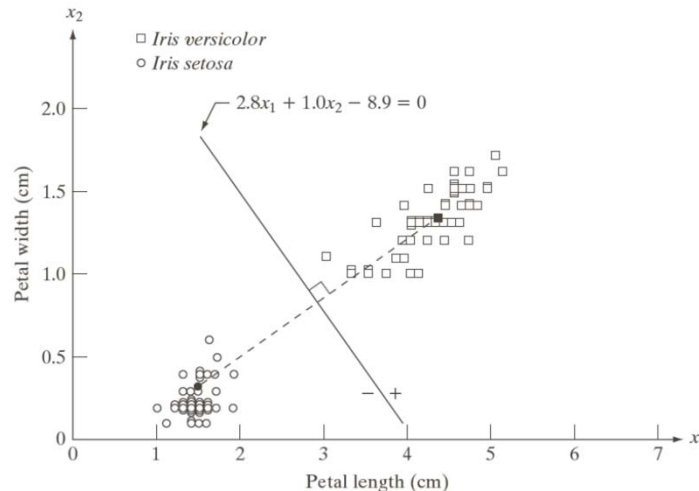
# Digital Image Processing, 3rd ed.

Gonzalez & Woods

[www.ImageProcessingPlace.com](http://www.ImageProcessingPlace.com)

## Chapter 12

### Object Recognition



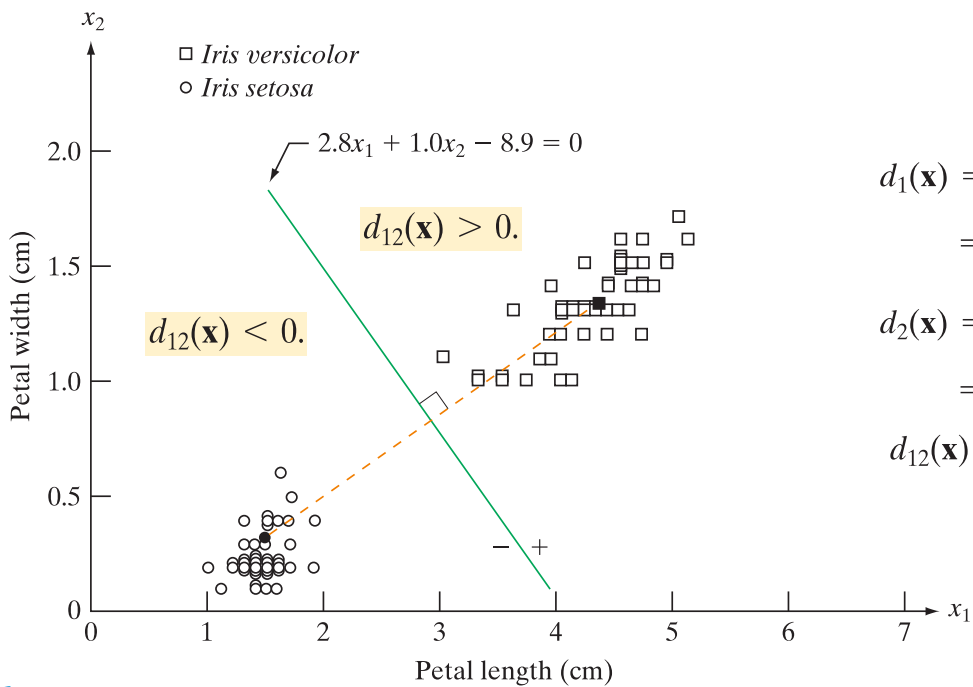
**FIGURE 12.6**  
Decision boundary of minimum distance classifier for the classes of *Iris versicolor* and *Iris setosa*. The dark dot and square are the means.

## بازشناسی مبتنی بر روش‌های نظریه-تصمیمی

تطابق: طبقه‌بندی کننده می‌نیم-فاصله: مثال

MATCHING: MINIMUM DISTANCE CLASSIFIER

طبقه‌بندی با دو کلاس



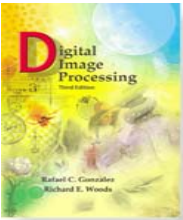
$$\mathbf{m}_1 = (4.3, 1.3)^T$$

$$\mathbf{m}_2 = (1.5, 0.3)^T$$

$$\begin{aligned} d_1(\mathbf{x}) &= \mathbf{x}^T \mathbf{m}_1 - \frac{1}{2} \mathbf{m}_1^T \mathbf{m}_1 \\ &= 4.3x_1 + 1.3x_2 - 10.1 \end{aligned}$$

$$\begin{aligned} d_2(\mathbf{x}) &= \mathbf{x}^T \mathbf{m}_2 - \frac{1}{2} \mathbf{m}_2^T \mathbf{m}_2 \\ &= 1.5x_1 + 0.3x_2 - 1.17 \end{aligned}$$

$$\begin{aligned} d_{12}(\mathbf{x}) &= d_1(\mathbf{x}) - d_2(\mathbf{x}) \\ &= 2.8x_1 + 1.0x_2 - 8.9 = 0 \end{aligned}$$



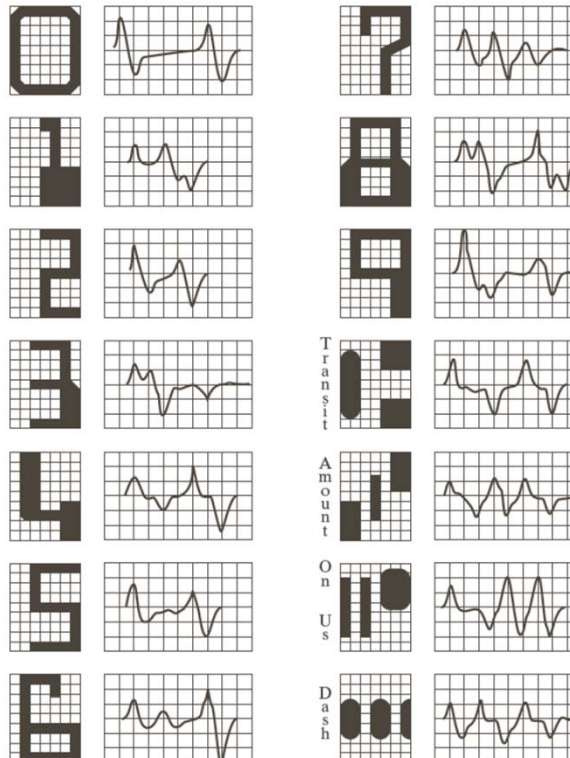
# Digital Image Processing, 3rd ed.

Gonzalez & Woods

[www.ImageProcessingPlace.com](http://www.ImageProcessingPlace.com)

## Chapter 12

### Object Recognition



**FIGURE 12.7**

American  
Bankers  
Association  
E-13B font  
character set  
and corresponding  
waveforms.

## بازشناسی مبتنی بر روش‌های نظریه-تصمیمی

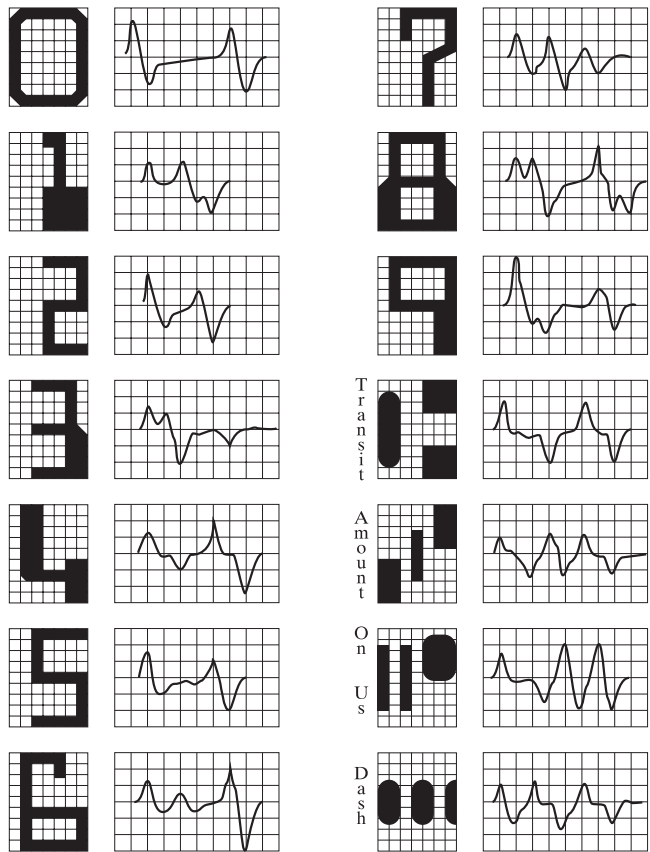
تطابق: طبقه‌بندی کننده‌ی می‌نیم-فاصله: مثال (بازشناسی مغناطیسی کاراکترها)

### MATCHING: MINIMUM DISTANCE CLASSIFIER

در عمل، طبقه‌بندی کننده‌ی می‌نیم-فاصله زمانی خوب کار می‌کند که فاصله‌ی بین متosteها در مقایسه با گسترش/تصادفی بودن هر دسته نسبت به متوسط آن زیاد باشد.

فاصله‌ی زیاد متosteها و گسترش نسبتاً کم هر دسته به ندرت در عمل اتفاق می‌افتد؛  
مگر اینکه طراح سیستم،  
ذات ورودی را کنترل کند  
(مثل فونت E-13B)

American  
Bankers  
Association  
E-13B font  
character set and  
corresponding  
waveforms.



## بازشناسی مبتنی بر روش‌های نظریه-تصمیمی

تطابق با همبستگی

### RECOGNITION BASED ON DECISION-THEORETIC METHODS: MATCHING BY CORRELATION

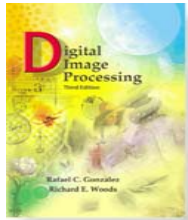
الگوی مورد نظر را در قالب یک ماسک  $w$  در نظر می‌گیریم و آن را بر روی نقاط تصویر  $f$  حرکت می‌دهیم و مقدار همبستگی را همه جا محاسبه می‌کنیم.  
تطابق در نقطه‌ای اتفاق می‌افتد که مقدار همبستگی، ماکزیمم شود.

$$c(x, y) = \sum_s \sum_t w(s, t) f(x + s, y + t)$$

$$f(x, y) \star\!\! \star w(x, y) \Leftrightarrow F^*(u, v) W(u, v)$$

معمولًاً از ضریب همبستگی نرمالشده استفاده می‌کنیم:

$$\gamma(x, y) = \frac{\sum_s \sum_t [w(s, t) - \bar{w}] \sum_s \sum_t [f(x + s, y + t) - \bar{f}(x + s, y + t)]}{\left\{ \sum_s \sum_t [w(s, t) - \bar{w}]^2 \sum_s \sum_t [f(x + s, y + t) - \bar{f}(x + s, y + t)]^2 \right\}^{\frac{1}{2}}}$$



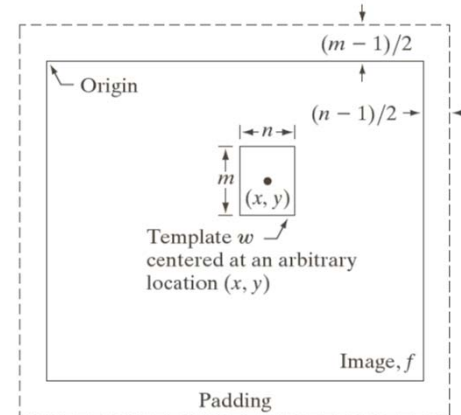
# Digital Image Processing, 3rd ed.

Gonzalez & Woods

[www.ImageProcessingPlace.com](http://www.ImageProcessingPlace.com)

## Chapter 12

### Object Recognition



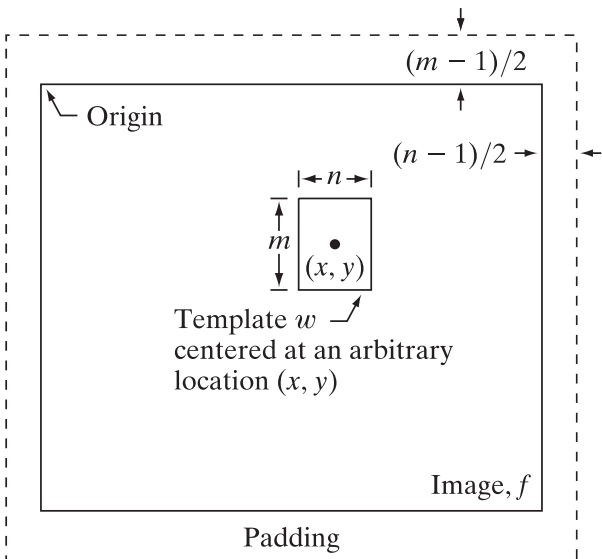
**FIGURE 12.8**  
The mechanics of  
template  
matching.

## بازشناسی مبتنی بر روش‌های نظریه-تصمیمی

تطابق با همبستگی

### RECOGNITION BASED ON DECISION-THEORETIC METHODS: MATCHING BY CORRELATION

الگوی مورد نظر را در قالب یک ماسک  $w$  در نظر می‌گیریم و آن را بر روی نقاط تصویر  $f$  حرکت می‌دهیم و مقدار همبستگی را همه جا محاسبه می‌کنیم.  
تطابق در نقطه‌ای اتفاق می‌افتد که مقدار همبستگی، ماکزیمم شود.



$$\gamma(x, y) = \frac{\sum_s \sum_t [w(s, t) - \bar{w}] \sum_s \sum_t [f(x + s, y + t) - \bar{f}(x + s, y + t)]}{\left\{ \sum_s \sum_t [w(s, t) - \bar{w}]^2 \sum_s \sum_t [f(x + s, y + t) - \bar{f}(x + s, y + t)]^2 \right\}^{1/2}}$$

تطابق قالب  
*Template Matching*

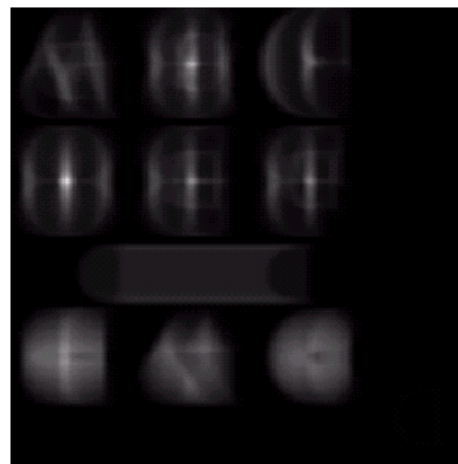
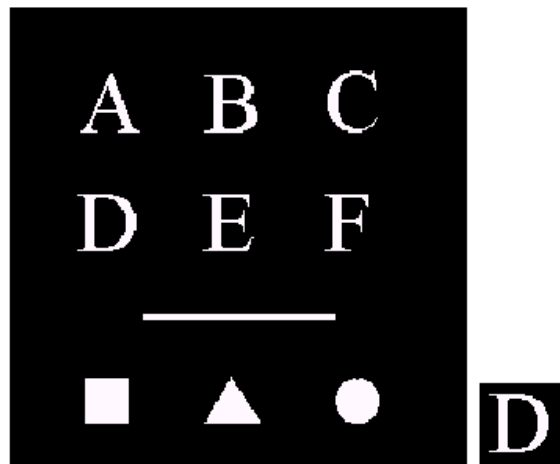
$$x = 0, 1, 2, \dots, M - 1$$

$$y = 0, 1, 2, \dots, N - 1$$

## بازشناسی مبتنی بر روش‌های نظریه-تصمیمی

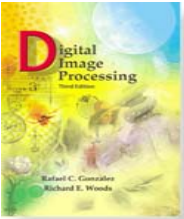
تطابق با همبستگی: مثال

## RECOGNITION BASED ON DECISION-THEORETIC METHODS: MATCHING BY CORRELATION



a b c

- (a) Image.
- (b) Subimage.
- (c) Correlation coefficient of (a) and (b). Note that the highest (brighter) point in (c) occurs when subimage (b) is coincident with the letter "D" in (a).



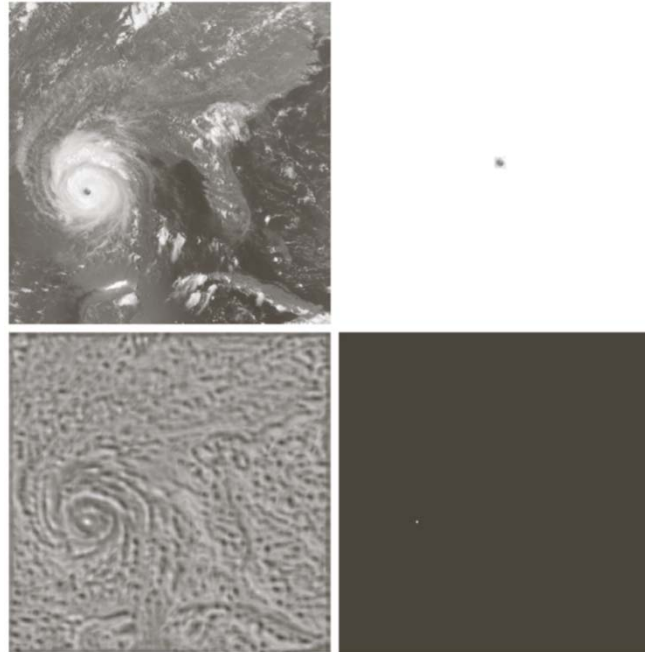
# Digital Image Processing, 3rd ed.

Gonzalez & Woods

[www.ImageProcessingPlace.com](http://www.ImageProcessingPlace.com)

## Chapter 12

### Object Recognition



a b  
c d

**FIGURE 12.9**  
(a) Satellite image of Hurricane Andrew, taken on August 24, 1992.  
(b) Template of the eye of the storm.  
(c) Correlation coefficient shown as an image (note the brightest point).  
(d) Location of the best match. This point is a single pixel, but its size was enlarged to make it easier to see.  
(Original image courtesy of NOAA.)

## بازشناسی مبتنی بر روش‌های نظریه-تصمیمی

تطابق با همبستگی: مثال

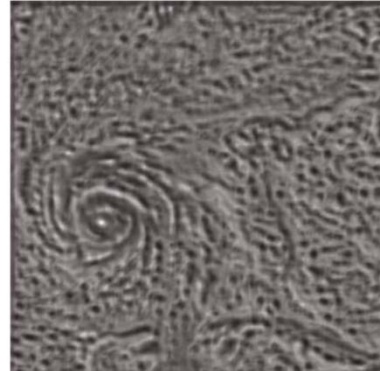
### RECOGNITION BASED ON DECISION-THEORETIC METHODS: MATCHING BY CORRELATION

(۱)  
تصویر ماهواره‌ای  
از یک گردباد

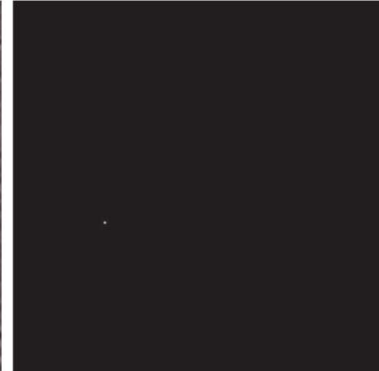


(۲)  
قالب چشم طوفان

(۳)  
ضریب همبستگی:  
نمایش به صورت یک تصویر



(۴)  
مکان بهترین تطابق  
(بزرگترین  
مقدار همبستگی)



## بازشناسی مبتنی بر روش‌های نظریه-تصمیمی

طبقه‌بندی کننده‌های آماری بهینه

### RECOGNITION BASED ON DECISION-THEORETIC METHODS: OPTIMUM STATISTICAL CLASSIFIERS

هدف استخراج یک روی‌کرد طبقه‌بندی است که دارای مفهوم بهینه باشد و به‌طور متوسط استفاده از آن منجر به کمترین احتمال خطای طبقه‌بندی شود.

فرض می‌کنیم احتمال اینکه یک الگوی خاص  $\mathbf{x}$  از طبقه‌ی  $\omega_i$  بیاید، عبارت باشد از:

$$p(\omega_i/\mathbf{x})$$

اگر طبقه‌بندی کننده تصمیم بگیرید که  $\omega_j \in \mathbf{x} \in \omega_i$  باشد، متحمل اتلاف  $L_{ij}$  می‌شود. متوجه اتلاف (ریسک) عبارت است از:

$$r_j(\mathbf{x}) = \sum_{k=1}^W L_{kj} p(\omega_k/\mathbf{x})$$

با استفاده از قضیه‌ی بیز داریم:

$$p(A/B) = [p(A)p(B/A)]/p(B)$$

$$r_j(\mathbf{x}) = \frac{1}{p(\mathbf{x})} \sum_{k=1}^W L_{kj} p(\mathbf{x}/\omega_k) P(\omega_k)$$

$\omega_k$  = تابع چگالی احتمال الگوهای دسته‌ی  $k$   $p(\mathbf{x}/\omega_k)$



## بازشناسی مبتنی بر روش‌های نظریه-تصمیمی

طبقه‌بندی‌کننده‌های آماری بهینه: طبقه‌بندی‌کننده‌ی بیز

### RECOGNITION BASED ON DECISION-THEORETIC METHODS: OPTIMUM STATISTICAL CLASSIFIERS

با کنارگذاشتن ضریب مثبت  $p(\mathbf{x})$  که بین همه‌ی  $r_j$ ها مشترک است، متوسط اتلاف می‌شود:

$$r_j(\mathbf{x}) = \sum_{k=1}^W L_{kj} p(\mathbf{x}/\omega_k) P(\omega_k)$$

برای هر الگو، مقادیر متوسط اتلاف هر طبقه را محاسبه می‌کنیم:

$$r_1(\mathbf{x}), r_2(\mathbf{x}), \dots, r_W(\mathbf{x})$$

و الگو را به طبقه‌ی  $\omega_i$  نسبت می‌دهیم که می‌نیم متوسط اتلاف را دارد:

$$r_i(\mathbf{x}) < r_j(\mathbf{x}) \quad j = 1, 2, \dots, W; j \neq i.$$

به عبارت دیگر  $\mathbf{x}$  به طبقه‌ی  $\omega_i$  نسبت داده می‌شود، هرگاه:

$$\sum_{k=1}^W L_{ki} p(\mathbf{x}/\omega_k) P(\omega_k) < \sum_{q=1}^W L_{qj} p(\mathbf{x}/\omega_q) P(\omega_q) \quad j; j \neq i.$$

طبقه‌بندی‌کننده‌ای که مجموع متوسط اتلاف‌ها را می‌نیم می‌کند.

طبقه‌بندی‌کننده‌ی بیز  
*Bayes Classifier*

## بازشناسی مبتنی بر روش‌های نظریه-تصمیمی

طبقه‌بندی‌کننده‌های آماری بهینه: طبقه‌بندی‌کننده‌ی بیز [برای تابع اتلاف دودویی]

### RECOGNITION BASED ON DECISION-THEORETIC METHODS: OPTIMUM STATISTICAL CLASSIFIERS

اگر تابع اتلاف را دودویی بگیریم (تصمیم درست، ۰ و تصمیم نادرست: ۱)، داریم:

$$L_{ij} = 1 - \delta_{ij} \quad \delta_{ij} = 1 \quad i = j \quad \delta_{ij} = 0 \quad i \neq j.$$

متوسط اتلاف (ریسک) می‌شود:

$$\begin{aligned} r_j(\mathbf{x}) &= \sum_{k=1}^W (1 - \delta_{kj}) p(\mathbf{x}/\omega_k) P(\omega_k) \\ &= p(\mathbf{x}) - p(\mathbf{x}/\omega_j) P(\omega_j) \end{aligned}$$

طبقه‌بندی‌کننده‌ی بیز، الگوی  $\mathbf{x}$  را به طبقه‌ی  $i$  نسبت می‌دهد اگر برای هر  $i \neq j$  داشته باشیم:

$$p(\mathbf{x}) - p(\mathbf{x}/\omega_i) P(\omega_i) < p(\mathbf{x}) - p(\mathbf{x}/\omega_j) P(\omega_j)$$

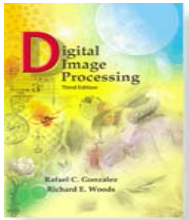
به طور معادل:

$$p(\mathbf{x}/\omega_i) P(\omega_i) > p(\mathbf{x}/\omega_j) P(\omega_j) \quad j = 1, 2, \dots, W; j \neq i$$

پس **تابع تصمیم** برای طبقه‌بندی‌کننده‌ی بیز با اتلاف دودویی به صورت زیر است:

$$d_j(\mathbf{x}) = p(\mathbf{x}/\omega_j) P(\omega_j) \quad j = 1, 2, \dots, W$$





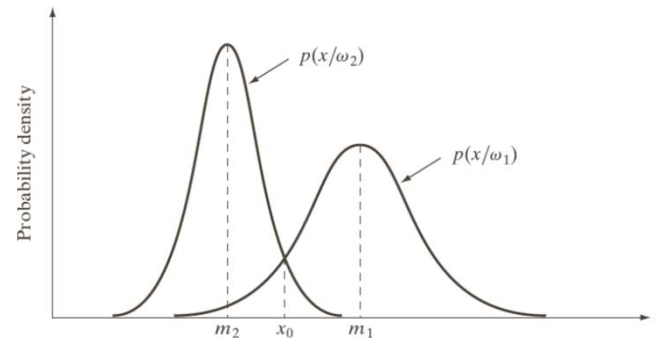
# Digital Image Processing, 3rd ed.

Gonzalez & Woods

[www.ImageProcessingPlace.com](http://www.ImageProcessingPlace.com)

## Chapter 12

### Object Recognition



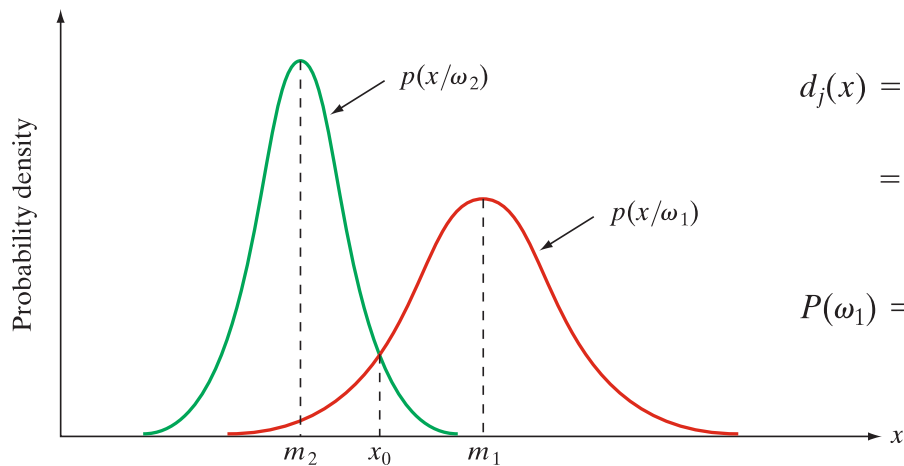
**FIGURE 12.10**  
Probability density functions for two 1-D pattern classes. The point  $x_0$  shown is the decision boundary if the two classes are equally likely to occur.

## بازشناسی مبتنی بر روش‌های نظریه-تصمیمی

طبقه‌بندی کننده‌های آماری بهینه: طبقه‌بندی کننده‌ی بیز [برای تابع اتلاف دودویی و طبقه‌های الگوی گاوی گاوی]

### RECOGNITION BASED ON DECISION-THEORETIC METHODS: OPTIMUM STATISTICAL CLASSIFIERS

برای حالت یکبعدی با دو طبقه:



$$\begin{aligned} d_j(x) &= p(x/\omega_j)P(\omega_j) \\ &= \frac{1}{\sqrt{2\pi}\sigma_j} e^{-\frac{(x-m_j)^2}{2\sigma_j^2}} P(\omega_j) \quad j = 1, 2 \end{aligned}$$

$$P(\omega_1) = P(\omega_2) = 1/2$$

$$d_1(x_0) = d_2(x_0)$$

$$p(x_0/\omega_1) = p(x_0/\omega_2)$$

## بازشناسی مبتنی بر روش‌های نظریه-تصمیمی

طبقه‌بندی کننده‌های آماری بهینه: طبقه‌بندی کننده‌ی بیز [برای تابع اتلاف دودویی و طبقه‌های الگوی گاوی]

### RECOGNITION BASED ON DECISION-THEORETIC METHODS: OPTIMUM STATISTICAL CLASSIFIERS

برای حالت  $n$ -بعدی با دو طبقه:

$$p(\mathbf{x}/\omega_j) = \frac{1}{(2\pi)^{n/2} |\mathbf{C}_j|^{1/2}} e^{-\frac{1}{2}(\mathbf{x}-\mathbf{m}_j)^T \mathbf{C}_j^{-1} (\mathbf{x}-\mathbf{m}_j)}$$

$$\mathbf{m}_j = E_j\{\mathbf{x}\} \quad \mathbf{m}_j = \frac{1}{N_j} \sum_{\mathbf{x} \in \omega_j} \mathbf{x}$$

$$\mathbf{C}_j = E_j\{(\mathbf{x} - \mathbf{m}_j)(\mathbf{x} - \mathbf{m}_j)^T\} \quad \mathbf{C}_j = \frac{1}{N_j} \sum_{\mathbf{x} \in \omega_j} \mathbf{x}\mathbf{x}^T - \mathbf{m}_j \mathbf{m}_j^T$$

$$d_j(\mathbf{x}) = p(\mathbf{x}/\omega_j)P(\omega_j)$$

چون تابع لگاریتم صعودی است، می‌توان از لگاریتم تابع تصمیم نیز به عنوان تابع تصمیم استفاده کرد:

$$\begin{aligned} d_j(\mathbf{x}) &= \ln[p(\mathbf{x}/\omega_j)P(\omega_j)] \\ &= \ln p(\mathbf{x}/\omega_j) + \ln P(\omega_j) \end{aligned}$$

$$d_j(\mathbf{x}) = \ln P(\omega_j) - \frac{n}{2} \ln 2\pi - \frac{1}{2} \ln |\mathbf{C}_j| - \frac{1}{2} [(\mathbf{x} - \mathbf{m}_j)^T \mathbf{C}_j^{-1} (\mathbf{x} - \mathbf{m}_j)]$$

$$d_j(\mathbf{x}) = \ln P(\omega_j) - \frac{1}{2} \ln |\mathbf{C}_j| - \frac{1}{2} [(\mathbf{x} - \mathbf{m}_j)^T \mathbf{C}_j^{-1} (\mathbf{x} - \mathbf{m}_j)]$$

با صرف نظر کردن از ثابت:



## بازشناسی مبتنی بر روش‌های نظریه-تصمیمی

طبقه‌بندی کننده‌های آماری بهینه: طبقه‌بندی کننده‌ی بیز [برای تابع اتلاف دودویی و طبقه‌های الگوی گاوی گاوی]

### RECOGNITION BASED ON DECISION-THEORETIC METHODS: OPTIMUM STATISTICAL CLASSIFIERS

برای حالت  $n$ -بعدی با دو طبقه:

$$d_j(\mathbf{x}) = \ln P(\omega_j) - \frac{1}{2} \ln |\mathbf{C}_j| - \frac{1}{2} [(\mathbf{x} - \mathbf{m}_j)^T \mathbf{C}_j^{-1} (\mathbf{x} - \mathbf{m}_j)]$$

If all covariance matrices are equal, then  $\mathbf{C} = \mathbf{C}_j$ , for  $j = 1, 2, \dots, W$ .

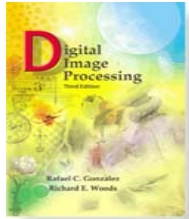
$$d_j(\mathbf{x}) = \ln P(\omega_j) + \mathbf{x}^T \mathbf{C}^{-1} \mathbf{m}_j - \frac{1}{2} \mathbf{m}_j^T \mathbf{C}^{-1} \mathbf{m}_j$$

which are linear decision functions (*hyperplanes*) for  $j = 1, 2, \dots, W$ .

If, in addition,  $\mathbf{C} = \mathbf{I}$ , where  $\mathbf{I}$  is the identity matrix, and also  $P(\omega_j) = 1/W$ ,  
for  $j = 1, 2, \dots, W$ , then

$$d_j(\mathbf{x}) = \mathbf{x}^T \mathbf{m}_j - \frac{1}{2} \mathbf{m}_j^T \mathbf{m}_j \quad j = 1, 2, \dots, W$$

پس با فرض ۱) طبقه‌های الگوی گاوی گاوی، ۲) ماتریس‌های کوواریانس همانی، ۳) هم احتمال بودن طبقه‌ها،  
طبقه‌های الگوی گاوی گاوی در فضای  $n$ -بعدی فرم ابرکره پیدا می‌کنند.



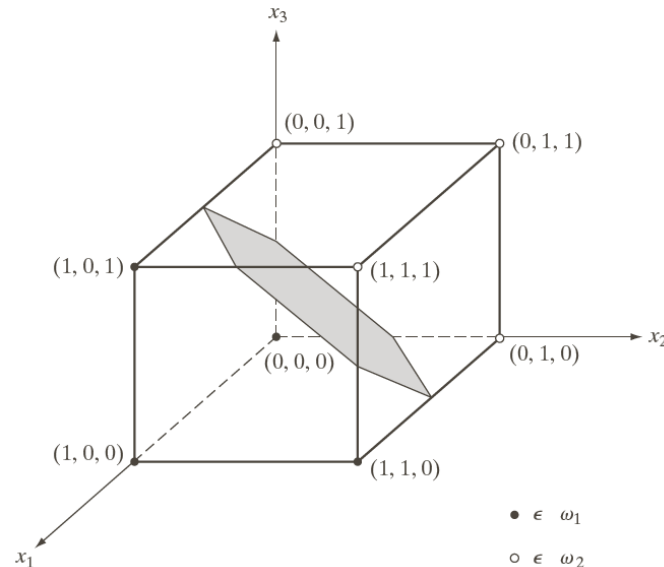
# Digital Image Processing, 3rd ed.

Gonzalez & Woods

[www.ImageProcessingPlace.com](http://www.ImageProcessingPlace.com)

## Chapter 12

### Object Recognition

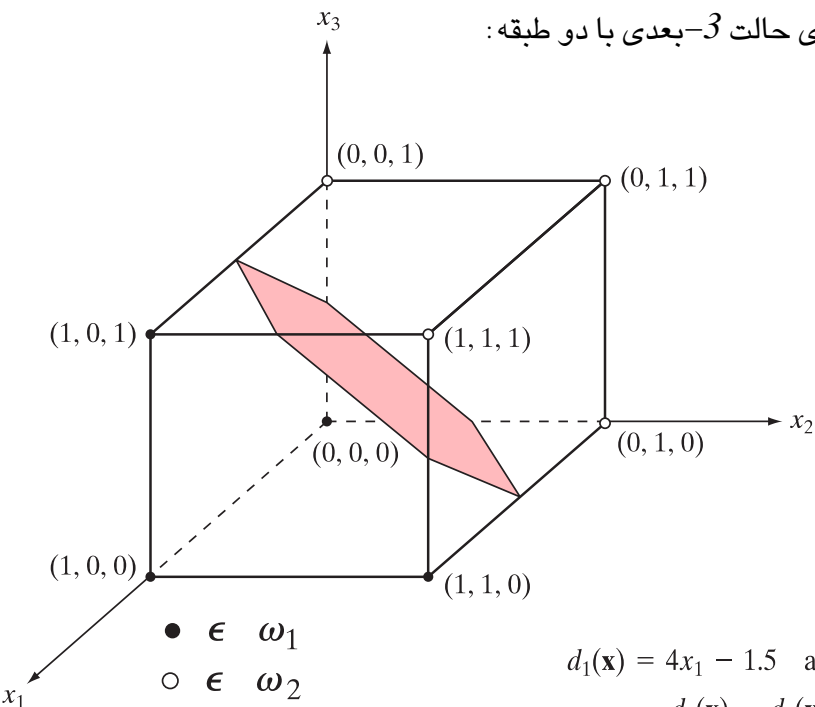


**FIGURE 12.11**  
Two simple  
pattern classes  
and their Bayes  
decision boundary  
(shown shaded).

## بازشناسی مبتنی بر روش‌های نظریه-تصمیمی

طبقه‌بندی‌کننده‌های آماری بهینه: طبقه‌بندی‌کننده‌ی بیز [برای تابع اتلاف دودویی و طبقه‌های الگوی گاوسی]: مثال

### RECOGNITION BASED ON DECISION-THEORETIC METHODS: OPTIMUM STATISTICAL CLASSIFIERS



$$\mathbf{m}_1 = \frac{1}{4} \begin{bmatrix} 3 \\ 1 \\ 1 \end{bmatrix} \quad \text{and} \quad \mathbf{m}_2 = \frac{1}{4} \begin{bmatrix} 1 \\ 3 \\ 3 \end{bmatrix}$$

$$\mathbf{C}_1 = \mathbf{C}_2 = \frac{1}{16} \begin{bmatrix} 3 & 1 & 1 \\ 1 & 3 & -1 \\ 1 & -1 & 3 \end{bmatrix}$$

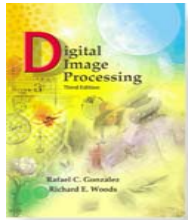
$$P(\omega_1) = P(\omega_2) = 1/2$$

$$d_j(\mathbf{x}) = \mathbf{x}^T \mathbf{C}^{-1} \mathbf{m}_j - \frac{1}{2} \mathbf{m}_j^T \mathbf{C}^{-1} \mathbf{m}_j$$

$$\mathbf{C}^{-1} = \begin{bmatrix} 8 & -4 & -4 \\ -4 & 8 & 4 \\ -4 & 4 & 8 \end{bmatrix}$$

$$d_1(\mathbf{x}) = 4x_1 - 1.5 \quad \text{and} \quad d_2(\mathbf{x}) = -4x_1 + 8x_2 + 8x_3 - 5.5$$

$$d_1(\mathbf{x}) - d_2(\mathbf{x}) = 8x_1 - 8x_2 - 8x_3 + 4 = 0$$



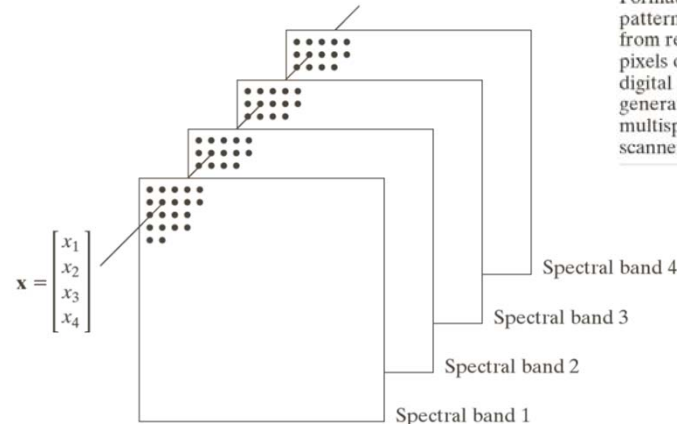
# Digital Image Processing, 3rd ed.

Gonzalez & Woods

[www.ImageProcessingPlace.com](http://www.ImageProcessingPlace.com)

## Chapter 12

### Object Recognition



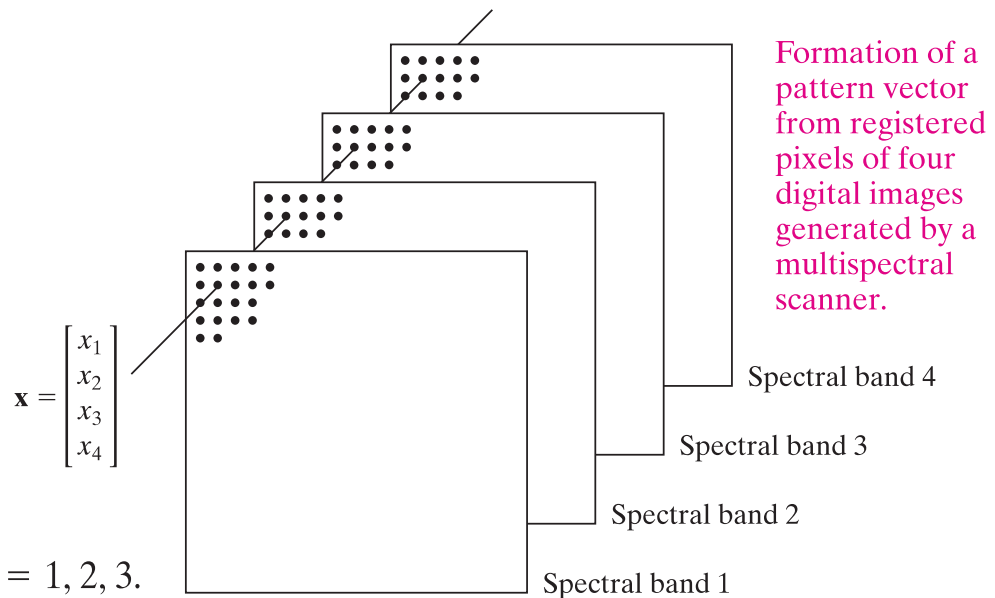
**FIGURE 12.12**  
Formation of a pattern vector from registered pixels of four digital images generated by a multispectral scanner.

## بازشناسی مبتنی بر روش‌های نظریه-تصمیمی

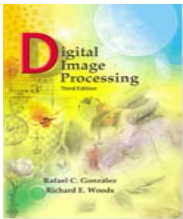
طبقه‌بندی کننده‌های آماری بهینه: طبقه‌بندی کننده‌ی بیز: مثال (کاربرد در سنجش از دور) (۱ از ۳)

یکی از موفق‌ترین کاربردهای طبقه‌بندی کننده‌ی بیز:

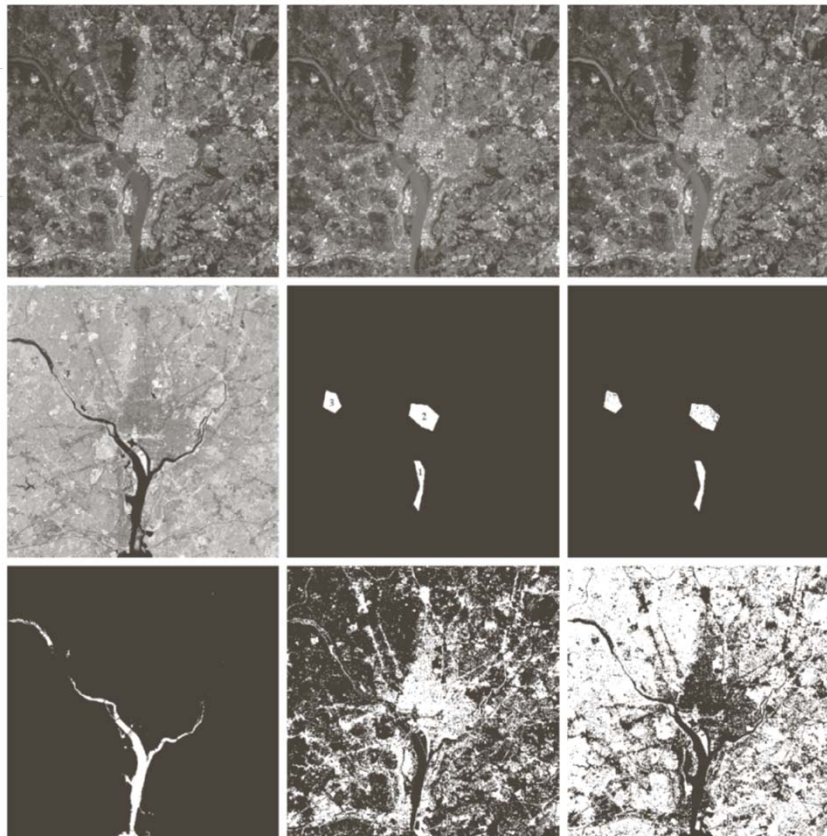
طبقه‌بندی تصاویر «سنجش از دور» توسط اسکنرهای چندطیفی موجود در ماهواره‌ها / ایستگاه‌های فضایی



$$P(\omega_i) = 1/3, i = 1, 2, 3.$$



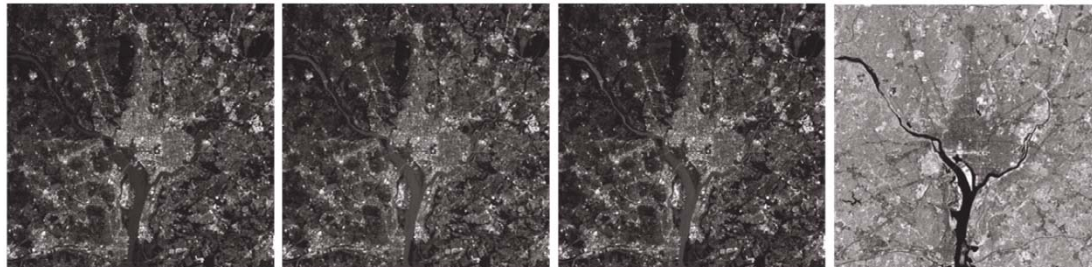
## Digital Image Processing, 3rd ed.



**FIGURE 12.13** Bayes classification of multispectral data. (a)–(d) Images in the visible blue, visible green, visible red, and near infrared wavelengths. (e) Mask showing sample regions of water (1), urban development (2), and vegetation (3). (f) Results of classification; the black dots denote points classified incorrectly. The other (white) points were classified correctly. (g) All image pixels classified as water (in white). (h) All image pixels classified as urban development (in white). (i) All image pixels classified as vegetation (in white).

## بازشناسی مبتنی بر روش‌های نظریه-تصمیمی

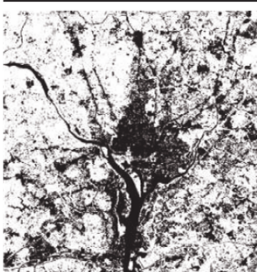
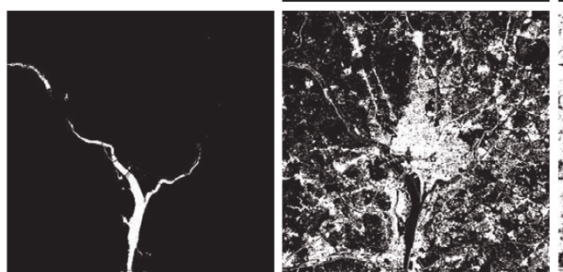
طبقه‌بندی کننده‌های آماری بهینه: طبقه‌بندی کننده‌ی بیز: مثال (کاربرد در سنجش از دور) (۲ از ۳)

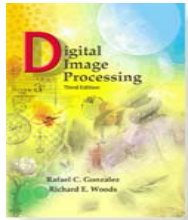


a	b	c	d
e	f		
g	h	i	

### Bayes classification of multispectral data.

- (a)-(d) Images in the visible blue, visible green, visible red, and near infrared wavelengths.
- (e) Mask showing sample regions of water (1), urban development (2), and vegetation (3).
- (f) Results of classification; the black dots denote points classified incorrectly. The other (white) points were classified correctly.
- (g) All image pixels classified as water (in white).
- (h) All image pixels classified as urban development (in white).
- (i) All image pixels classified as vegetations (in white).





# Digital Image Processing, 3rd ed.

Gonzalez & Woods

[www.ImageProcessingPlace.com](http://www.ImageProcessingPlace.com)

## Chapter 12

### Object Recognition

**TABLE 12.1**

Bayes classification of multispectral image data.

Training Patterns						Independent Patterns					
Class	No. of Samples	Classified into Class			% Correct	Class	No. of Samples	Classified into Class			% Correct
		1	2	3				1	2	3	
1	484	482	2	0	99.6	1	483	478	3	2	98.9
2	933	0	885	48	94.9	2	932	0	880	52	94.4
3	483	0	19	464	96.1	3	482	0	16	466	96.7

## بازشناسی مبتنی بر روش‌های نظریه-تصمیمی

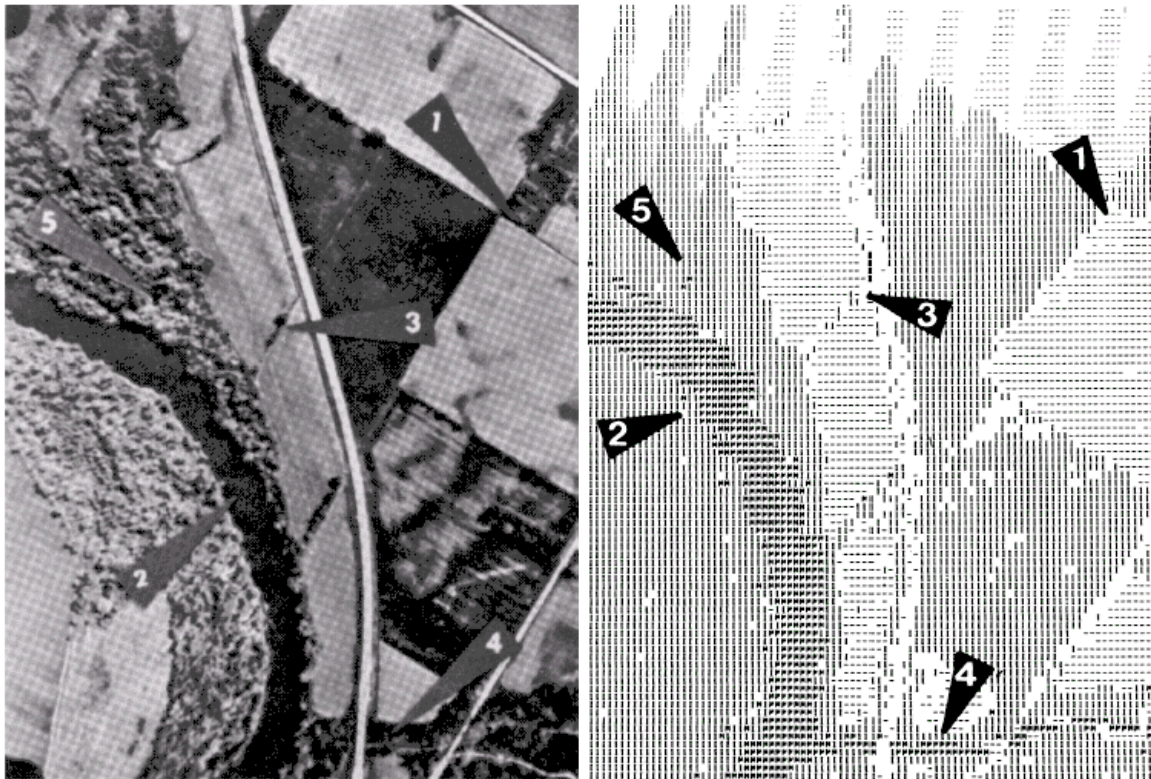
طبقه‌بندی کننده‌های آماری بهینه: طبقه‌بندی کننده‌ی بیز: مثال (کاربرد در سنجش از دور) (۳ از ۳)

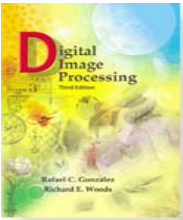
Bayes classification of multispectral image data.

Training Patterns						Independent Patterns					
Class	No. of Samples	Classified into Class			% Correct	Class	No. of Samples	Classified into Class			% Correct
		1	2	3				1	2	3	
1	484	482	2	0	99.6	1	483	478	3	2	98.9
2	933	0	885	48	94.9	2	932	0	880	52	94.4
3	483	0	19	464	96.1	3	482	0	16	466	96.7

## بازشناسی مبتنی بر روش‌های نظریه-تصمیمی

طبقه‌بندی کننده‌های آماری بهینه: طبقه‌بندی کننده‌ی بیز: مثال (کاربرد در سنجش از دور)





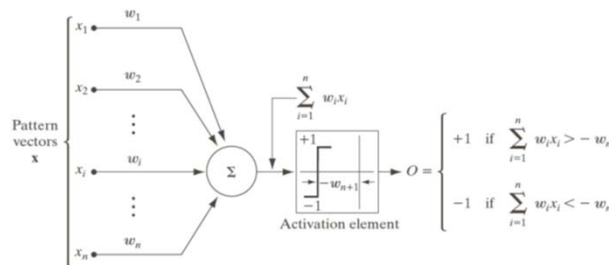
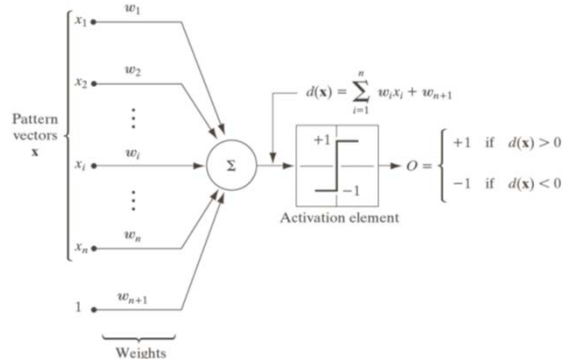
# Digital Image Processing, 3rd ed.

Gonzalez & Woods

[www.ImageProcessingPlace.com](http://www.ImageProcessingPlace.com)

## Chapter 12

### Object Recognition



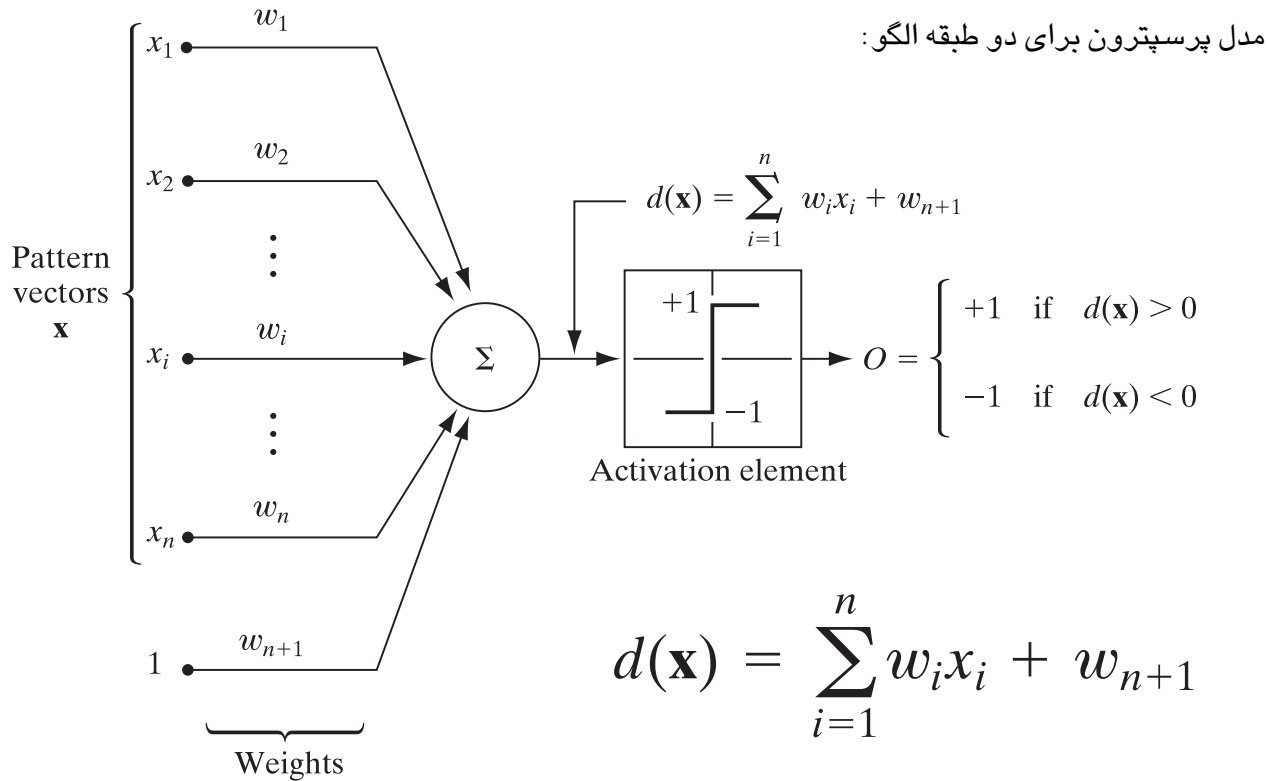
a  
b

**FIGURE 12.14** Two equivalent representations of the perceptron model for two pattern classes.

## شبکه های عصبی

## پرسپترون

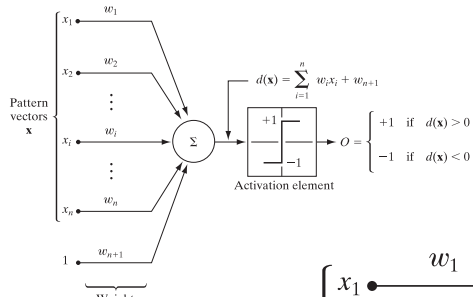
## NEURAL NETWORKS: PERCEPTRON



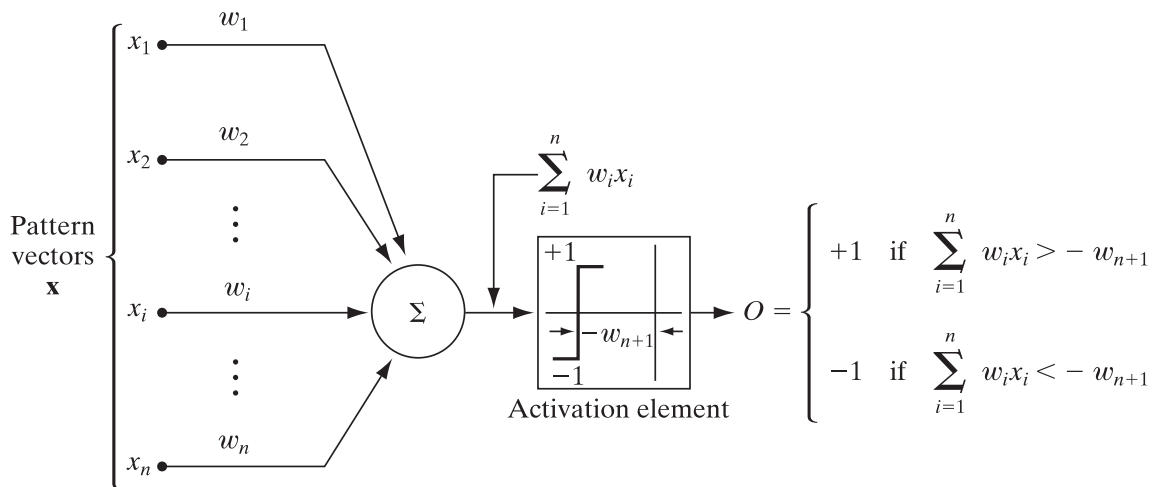
## شبکه های عصبی

## پرسپترون

## NEURAL NETWORKS: PERCEPTRON



مدل دیگر پرسپترون برای دو طبقه الگو:



## شبکه‌های عصبی

### پرسپترون

#### NEURAL NETWORKS: PERCEPTRON

مرز تصمیم برای پرسپترون برای دو طبقه الگو:

$$d(\mathbf{x}) = \sum_{i=1}^n w_i x_i + w_{n+1} = 0$$

$$w_1 x_1 + w_2 x_2 + \cdots + w_n x_n + w_{n+1} = 0$$

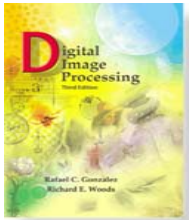
خروجی پرسپترون:

$$O = \begin{cases} +1 & \text{if } \sum_{i=1}^n w_i x_i > -w_{n+1} \\ -1 & \text{if } \sum_{i=1}^n w_i x_i < -w_{n+1} \end{cases}$$

تابع تصمیم برای پرسپترون برای دو طبقه الگو با استفاده از بردار ویژگی تعمیم یافته:

$$y_i = x_i, i = 1, 2, \dots, n, \quad y_{n+1} = 1.$$

$$d(\mathbf{y}) = \sum_{i=1}^{n+1} w_i y_i = \mathbf{w}^T \mathbf{y}$$



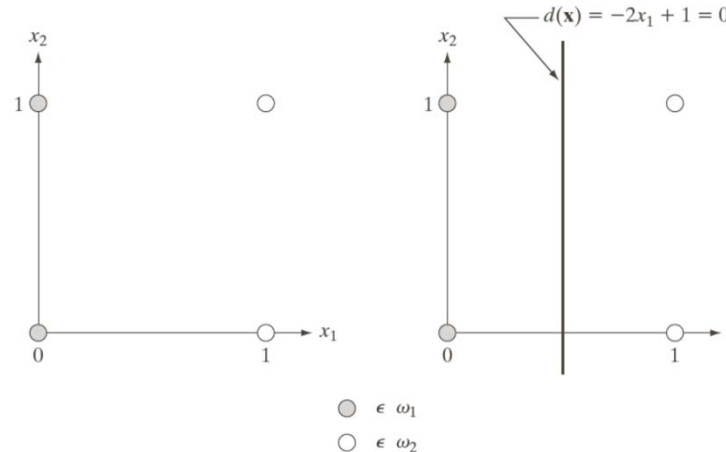
# Digital Image Processing, 3rd ed.

Gonzalez & Woods

[www.ImageProcessingPlace.com](http://www.ImageProcessingPlace.com)

## Chapter 12

### Object Recognition



a b

**FIGURE 12.15**

- (a) Patterns belonging to two classes.  
(b) Decision boundary determined by training.

## شبکه های عصبی

پرسپترون: مثال

## NEURAL NETWORKS: PERCEPTRON

training set  $\{(0, 0, 1)^T, (0, 1, 1)^T\}$  for class  $\omega_1$   
 $\{(1, 0, 1)^T, (1, 1, 1)^T\}$  for class  $\omega_2$ .

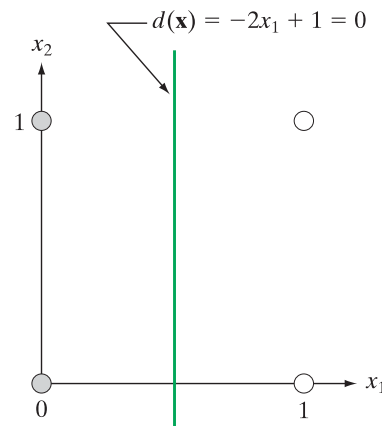
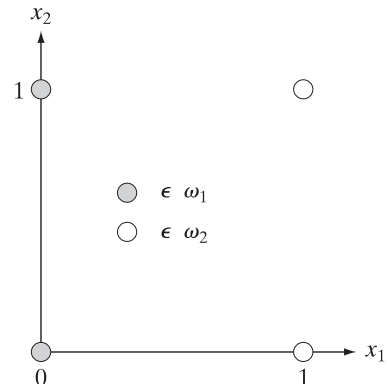
$$c = 1, \mathbf{w}(1) = \mathbf{0},$$

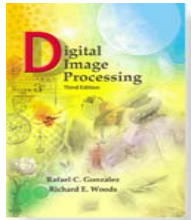
$$\mathbf{w}^T(1)\mathbf{y}(1) = [0, 0, 0] \begin{bmatrix} 0 \\ 0 \\ 1 \end{bmatrix} = 0 \quad \mathbf{w}(2) = \mathbf{w}(1) + \mathbf{y}(1) = \begin{bmatrix} 0 \\ 0 \\ 1 \end{bmatrix}$$

$$\mathbf{w}^T(2)\mathbf{y}(2) = [0, 0, 1] \begin{bmatrix} 0 \\ 1 \\ 1 \end{bmatrix} = 1 \quad \mathbf{w}(3) = \mathbf{w}(2) = \begin{bmatrix} 0 \\ 0 \\ 1 \end{bmatrix}$$

$$\mathbf{w}^T(3)\mathbf{y}(3) = [0, 0, 1] \begin{bmatrix} 1 \\ 0 \\ 1 \end{bmatrix} = 1 \quad \mathbf{w}(4) = \mathbf{w}(3) - \mathbf{y}(3) = \begin{bmatrix} -1 \\ 0 \\ 0 \end{bmatrix}$$

$$\mathbf{w}^T(4)\mathbf{y}(4) = [-1, 0, 0] \begin{bmatrix} 1 \\ 1 \\ 1 \end{bmatrix} = -1 \quad \mathbf{w}(5) = \mathbf{w}(4) = \begin{bmatrix} -1 \\ 0 \\ 0 \end{bmatrix}$$

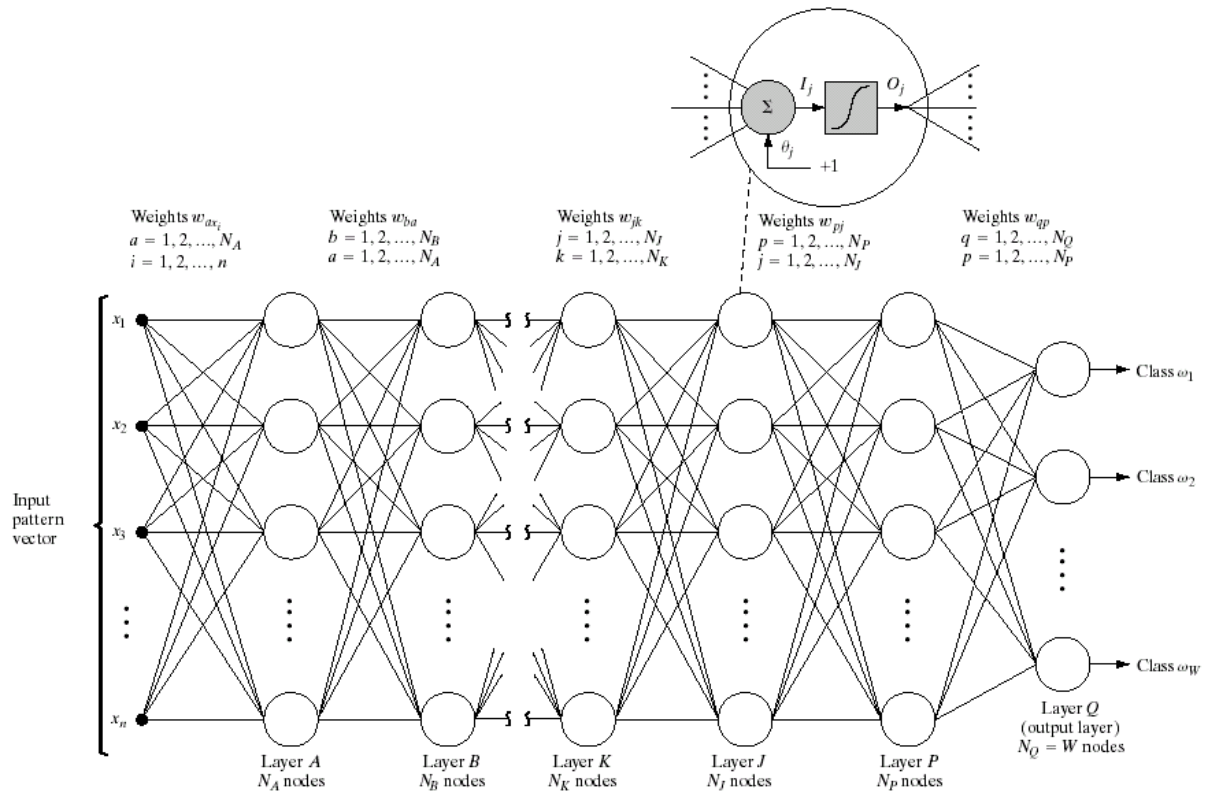




# Digital Image Processing, 3rd ed.

Gonzalez & Woods

[www.ImageProcessingPlace.com](http://www.ImageProcessingPlace.com)

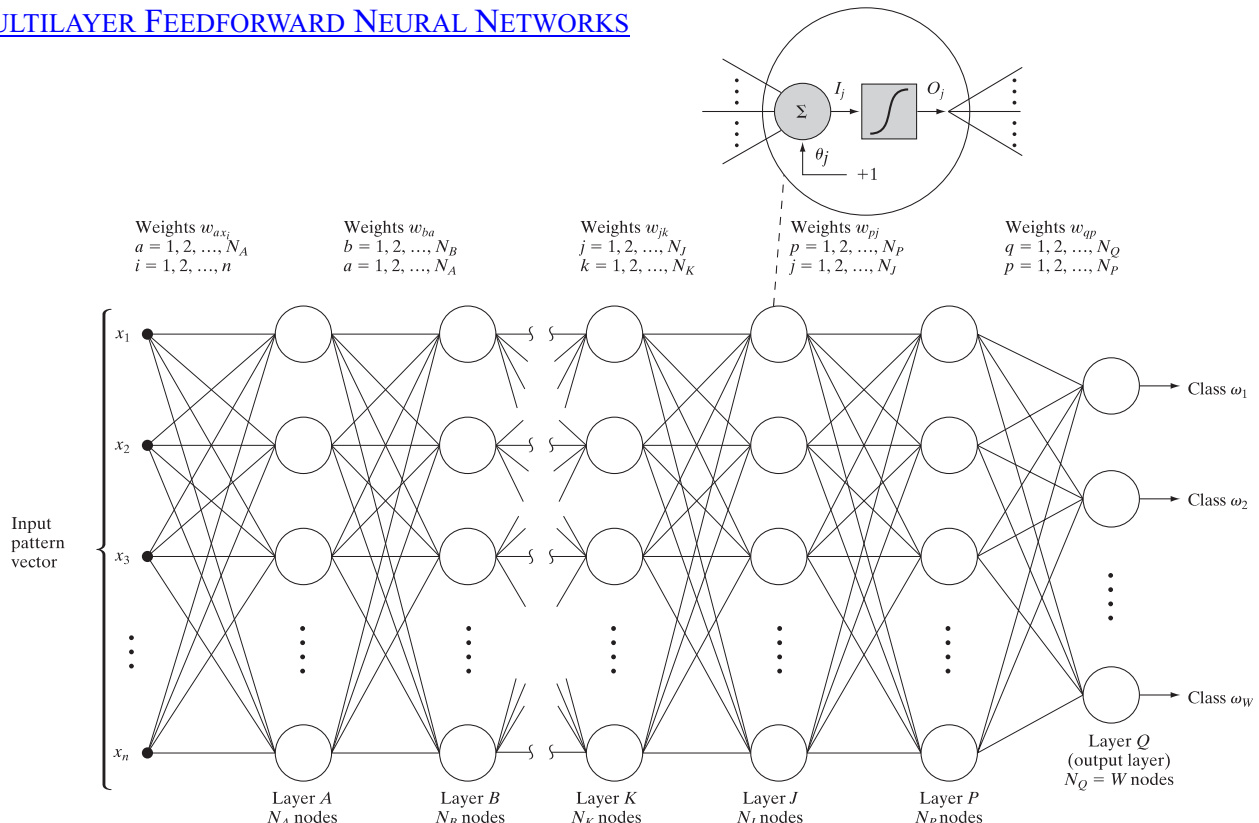


**FIGURE 12.16** Multilayer feedforward neural network model. The blowup shows the basic structure of each neuron element throughout the network. The offset,  $\theta_j$ , is treated as just another weight.

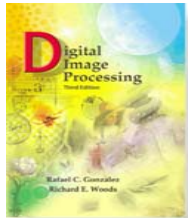
## شبکه‌های عصبی

### شبکه‌های عصبی چندلایه پیش‌خور

#### MULTILAYER FEEDFORWARD NEURAL NETWORKS



Multilayer feedforward neural network model. The blowup shows the basic structure of each neuron element throughout the network. The offset,  $\theta_j$ , is treated as just another weight.



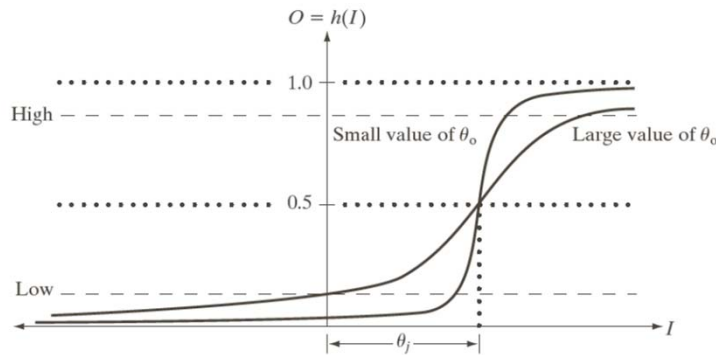
# Digital Image Processing, 3rd ed.

Gonzalez & Woods

[www.ImageProcessingPlace.com](http://www.ImageProcessingPlace.com)

## Chapter 12

### Object Recognition

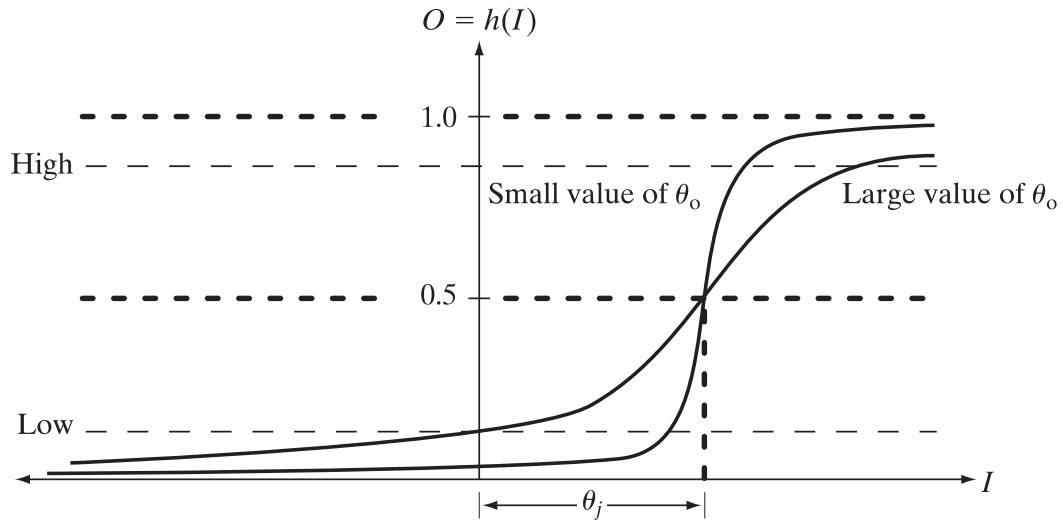


**FIGURE 12.17**  
The sigmoidal activation function of Eq. (12.2-47).

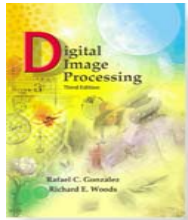
## شبکه‌های عصبی

شبکه‌های عصبی چندلایه پیش‌خور: تابع فعال‌سازی سیگموئید

### MULTILAYER FEEDFORWARD NEURAL NETWORKS



$$h_j(I_j) = \frac{1}{1 + e^{-(I_j + \theta_j)/\theta_o}}$$



# Digital Image Processing, 3rd ed.

Gonzalez & Woods

[www.ImageProcessingPlace.com](http://www.ImageProcessingPlace.com)

## Chapter 12

### Object Recognition



Shape 1



Shape 2



Shape 3



Shape 4



Shape 1



Shape 2



Shape 3



Shape 4

a  
b

**FIGURE 12.18**  
(a) Reference shapes and  
(b) typical noisy shapes used in  
training the  
neural network of  
Fig. 12.19.  
(Courtesy of Dr.  
Lalit Gupta, ECE  
Department,  
Southern Illinois  
University.)

## شبکه‌های عصبی

شبکه‌های عصبی چندلایه پیش‌خور: مثال (بازشناسی شکل) (۱ از ۴)

MULTILAYER FEEDFORWARD NEURAL NETWORKS

Shape 1



Shape 2



Shape 3



Shape 4

a  
b

(a) Reference shapes and



Shape 1



Shape 2



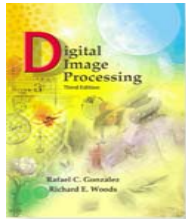
Shape 3



Shape 4

(b) typical noisy shapes used in training the neural network

Pattern vectors were generated by computing the **normalized signatures** of the shapes

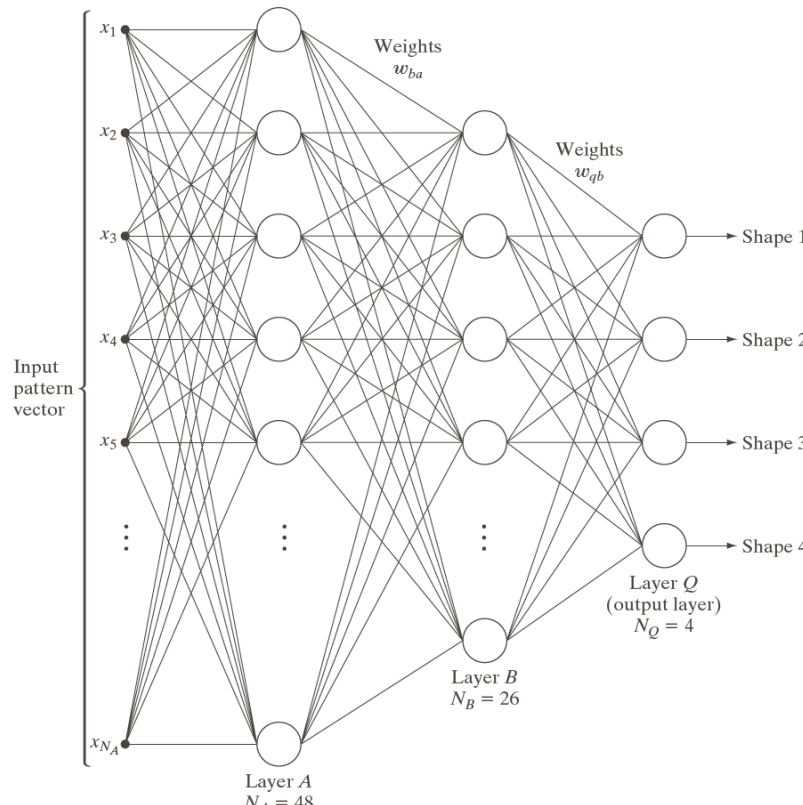


# Digital Image Processing, 3rd ed.

Gonzalez & Woods

[www.ImageProcessingPlace.com](http://www.ImageProcessingPlace.com)

## Chapter 12 Object Recognition



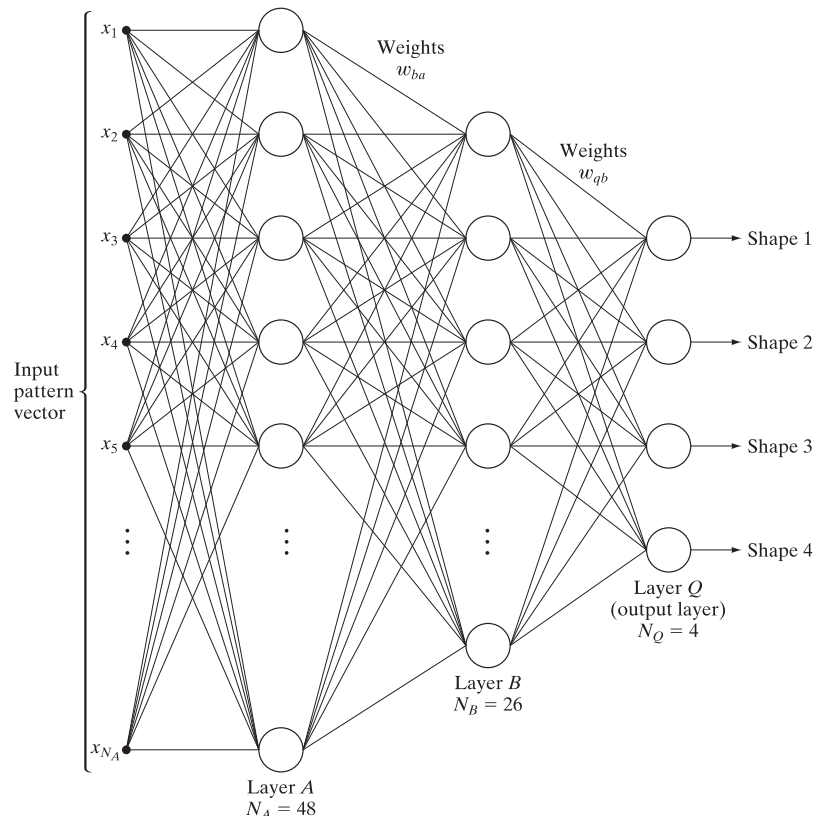
**FIGURE 12.19**  
Three-layer neural network used to recognize the shapes in Fig. 12.18.  
(Courtesy of Dr. Lalit Gupta, ECE Department, Southern Illinois University.)

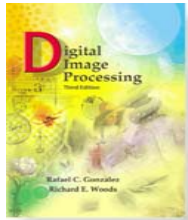
## شبکه‌های عصبی

شبکه‌های عصبی چندلایه پیش‌خور: مثال (بازشناسی شکل) (۲ از ۴)

### MULTILAYER FEEDFORWARD NEURAL NETWORKS

Three-layer neural network used to recognize the shapes





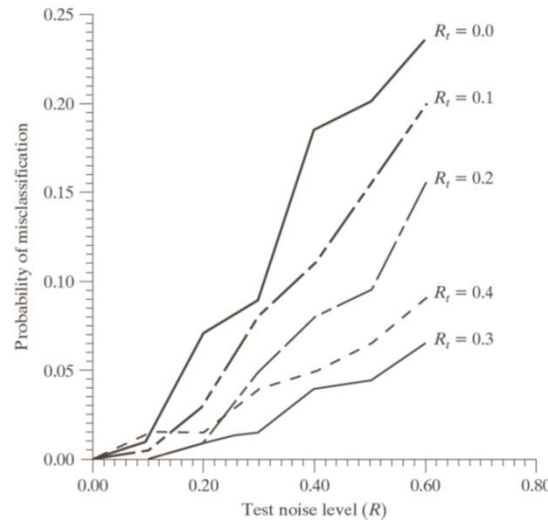
# Digital Image Processing, 3rd ed.

Gonzalez & Woods

[www.ImageProcessingPlace.com](http://www.ImageProcessingPlace.com)

## Chapter 12

### Object Recognition



**FIGURE 12.20**  
Performance of  
the neural  
network as a  
function of noise  
level. (Courtesy  
of Dr. Lalit  
Gupta, ECE  
Department,  
Southern Illinois  
University.)

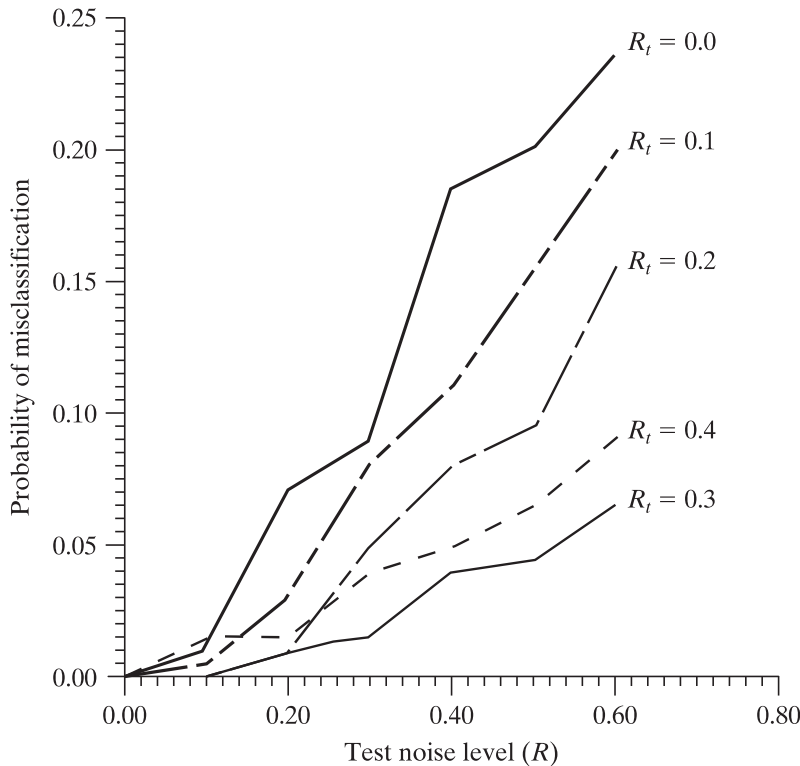
## شبکه‌های عصبی

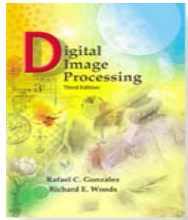
شبکه‌های عصبی چندلایه پیش‌خور: مثال (بازشناسی شکل) (۳ از ۴)

### MULTILAYER FEEDFORWARD NEURAL NETWORKS

Performance of  
the neural  
network as a  
function of noise  
level.

$R_t$  denote a value of  $R$   
used to generate **training data**.  
 $R_t = 0$  implies noise-free training.





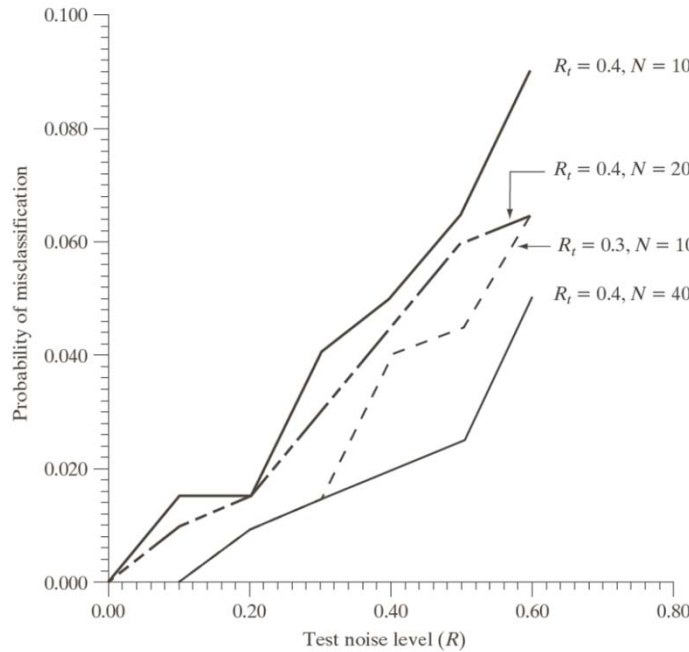
# Digital Image Processing, 3rd ed.

Gonzalez & Woods

[www.ImageProcessingPlace.com](http://www.ImageProcessingPlace.com)

## Chapter 12

### Object Recognition



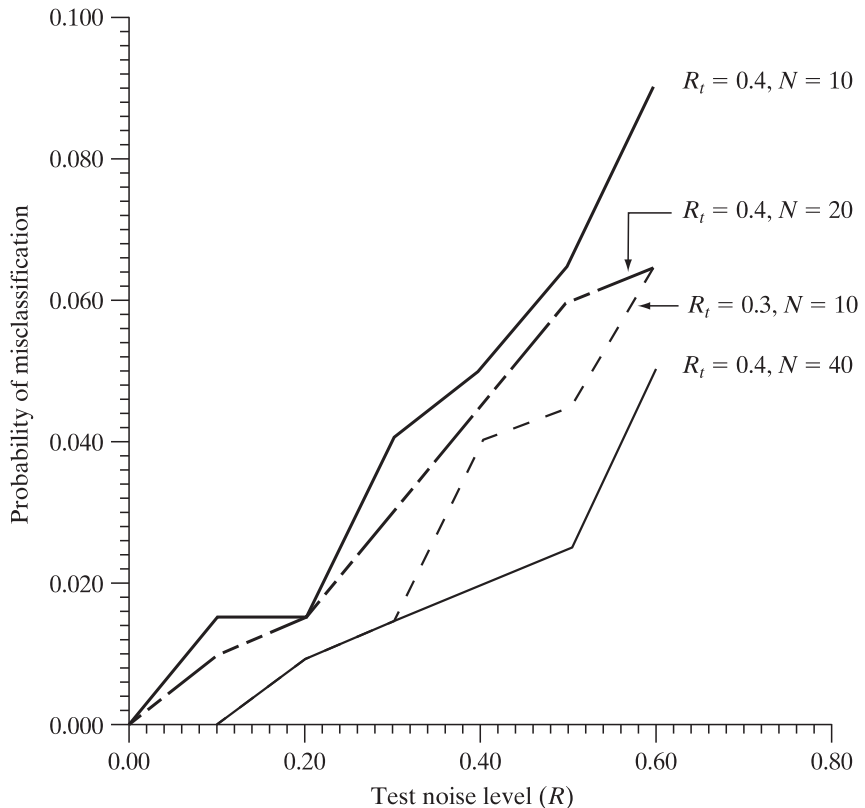
**FIGURE 12.21**  
Improvement in performance for  $R_t = 0.4$  by increasing the number of training patterns (the curve for  $R_t = 0.3$  is shown for reference). (Courtesy of Dr. Lalit Gupta, ECE Department, Southern Illinois University.)

## شبکه‌های عصبی

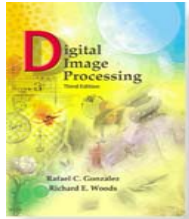
شبکه‌های عصبی چندلایه پیش‌خور: مثال (بازشناسی شکل) (۴ از ۴)

### MULTILAYER FEEDFORWARD NEURAL NETWORKS

Improvement in performance for  $R_t = 0.4$  by increasing the number of training patterns (the curve for  $R_t = 0.3$  is shown for reference).



$R_t$  denote a value of  $R$  used to generate **training data**.  
 $R_t = 0$  implies noise-free training.  
 $N$ : the number of training patterns



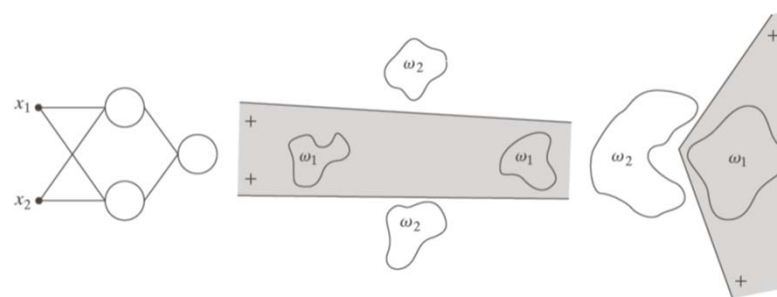
# Digital Image Processing, 3rd ed.

Gonzalez & Woods

[www.ImageProcessingPlace.com](http://www.ImageProcessingPlace.com)

## Chapter 12

### Object Recognition



a b c

**FIGURE 12.22**  
(a) A two-input,  
two-layer,  
feedforward  
neural network.  
(b) and (c)  
Examples of  
decision  
boundaries that  
can be  
implemented with  
this network.

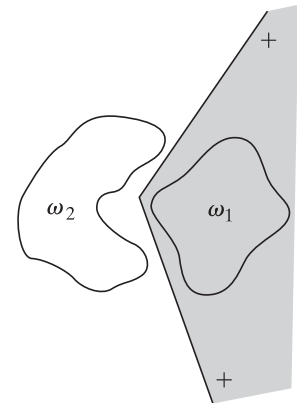
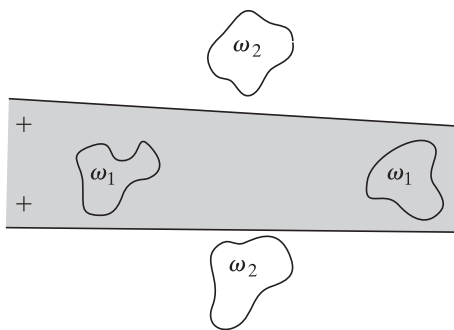
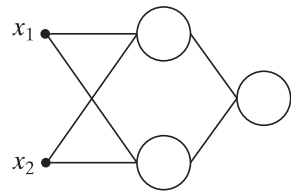
## شبکه‌های عصبی

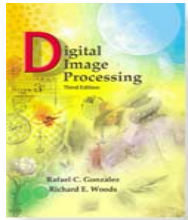
شبکه‌های عصبی چندلایه پیش‌خور: پیچیدگی سطح تصمیم

### MULTILAYER FEEDFORWARD NEURAL NETWORKS

a | b | c

- (a) A two-input, two-layer, feedforward neural network.
- (b) and (c) Examples of decision boundaries that can be implemented with this network.





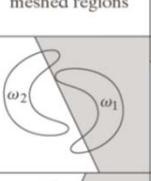
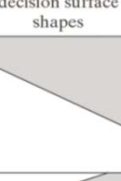
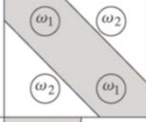
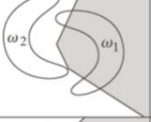
# Digital Image Processing, 3rd ed.

Gonzalez & Woods

[www.ImageProcessingPlace.com](http://www.ImageProcessingPlace.com)

## Chapter 12

### Object Recognition

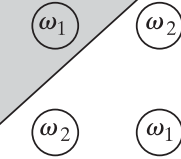
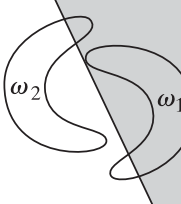
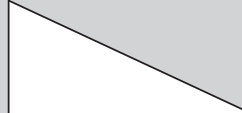
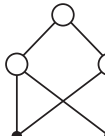
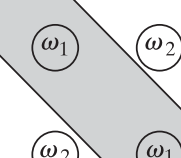
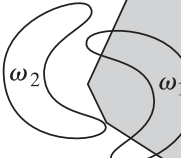
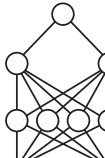
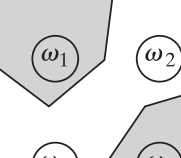
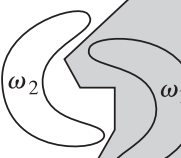
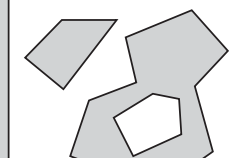
Network structure	Type of decision region	Solution to exclusive-OR problem	Classes with meshed regions	Most general decision surface shapes
Single layer	Single hyperplane			
Two layers	Open or closed convex regions			
Three layers	Arbitrary (complexity limited by the number of nodes)			

**FIGURE 12.23**  
Types of decision regions that can be formed by single- and multilayer feed-forward networks with one and two layers of hidden units and two inputs.  
(Lippman.)

## شبکه‌های عصبی

شبکه‌های عصبی چندلایه پیش‌خور: پیچیدگی سطح تصمیم

### MULTILAYER FEEDFORWARD NEURAL NETWORKS

Network structure	Type of decision region	Solution to exclusive-OR problem	Classes with meshed regions	Most general decision surface shapes
Single layer 	Single hyperplane			
Two layers 	Open or closed convex regions			
Three layers 	Arbitrary (complexity limited by the number of nodes)			

بازشناسی اشیا

۳

# بازشناسی بر اساس روش‌های ساختاری

## روش‌های ساختاری

### STRUCTURAL METHODS

بازشناسی الگو بر مبنای روابط ساختاری ذاتی در شکل

بازشناسی ساختاری الگو  
*Structural Pattern Recognition*

#### چیدمان الگوها

*Pattern Arrangements*

گراف

*Graph*

درخت

*Tree*

رشته

*String*

برای  
توصیف‌های ساختاری

## روش‌های ساختاری

### تطابق اعداد شکل

#### STRUCTURAL METHODS: MATCHING SHAPE NUMBER

فرض کنید  $a$  و  $b$  دو عدد شکل از مرزهای بسته‌ی بازنمایی شده با کد زنجیره‌ای  $^4$ -جهتی باشد.

این دو شکل دارای درجه‌ی شباهت  $k$  هستند، اگر

$$s_j(a) = s_j(b) \quad \text{for } j = 4, 6, 8, \dots, k$$

$$s_j(a) \neq s_j(b) \quad \text{for } j = k + 2, k + 4, \dots$$

که در آن  $s$  عدد شکل و پایین‌نویس ترتیب رقم‌ها را نشان می‌دهد.

فاصله‌ی بین دو شکل  $a$  و  $b$  به صورت زیر تعریف می‌شود:

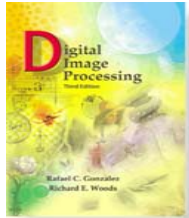
$$D(a, b) = \frac{1}{k}$$

فاصله‌ی دارای خصوصیات زیر است:

$$D(a, b) \geq 0$$

$$D(a, b) = 0 \quad \text{iff } a = b$$

$$D(a, c) \leq \max[D(a, b), D(b, c)]$$

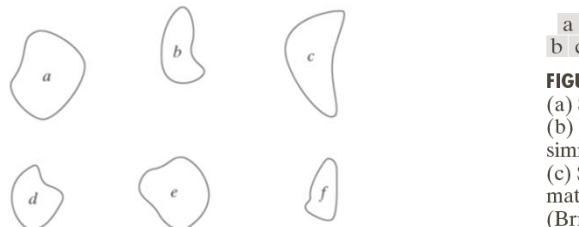


# Digital Image Processing, 3rd ed.

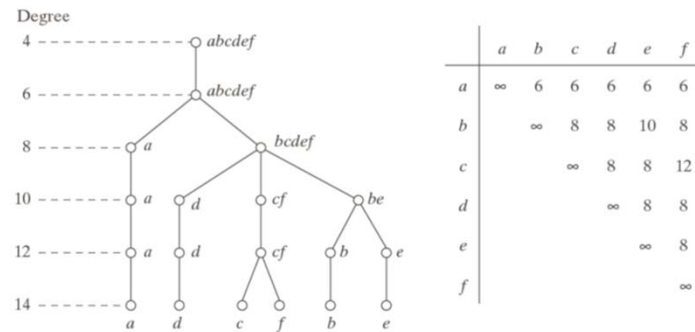
Gonzalez & Woods

www.ImageProcessingPlace.com

## Chapter 12 Object Recognition



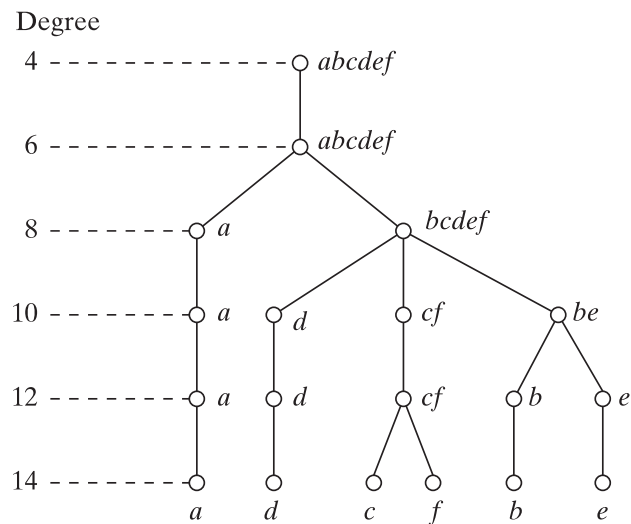
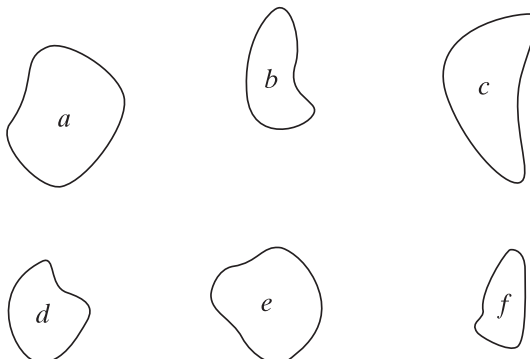
**FIGURE 12.24**  
(a) Shapes.  
(b) Hypothetical  
similarity tree.  
(c) Similarity  
matrix.  
(Bribiesca and  
Guzman.)



## روش‌های ساختاری

تطابق اعداد شکل: مثال: استفاده از اعداد شکل برای مقایسه اشکال (۱ از ۲)

### STRUCTURAL METHODS: MATCHING SHAPE NUMBER

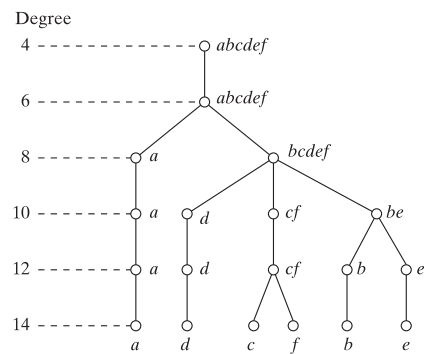
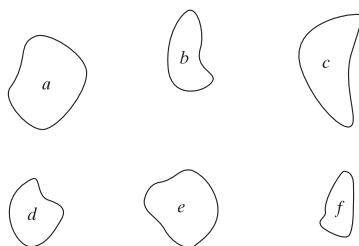


(b) Hypothetical  
similarity tree.

## روش‌های ساختاری

تطابق اعداد شکل: مثال: استفاده از اعداد شکل برای مقایسه اشکال (۲ از ۲)

### STRUCTURAL METHODS: MATCHING SHAPE NUMBER



	a	b	c	d	e	f
a	$\infty$	66666				
b		$\infty$	8	8	10	8
c			$\infty$	8	8	12
d				$\infty$	88	
e					$\infty$	8
f						$\infty$

(c) Similarity matrix.

## روش‌های ساختاری

### تطابق رشته‌ها

#### STRUCTURAL METHODS: STRING MATCHING

فرض کنید دو مرز ناحیه،  $a$  و  $b$ ، در دو رشته‌ی زیر کدگذاری شده باشد:

$$a_1 a_2 \dots a_n \quad b_1 b_2 \dots b_m$$

فرض کنید  $\alpha$  تعداد تطابق‌ها بین دو رشته را نشان دهد.

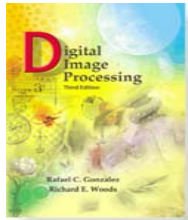
یک تطابق در مکان  $k$  رخ می‌دهد اگر

تعداد عدم تطابق‌ها بین دو رشته  $a$  و  $b$  می‌شود:

$$\beta = \max(|a|, |b|) - \alpha$$

یک معیار شباهت ساده بین دو رشته  $a$  و  $b$  می‌شود:

$$R = \frac{\alpha}{\beta} = \frac{\alpha}{\max(|a|, |b|) - \alpha}$$

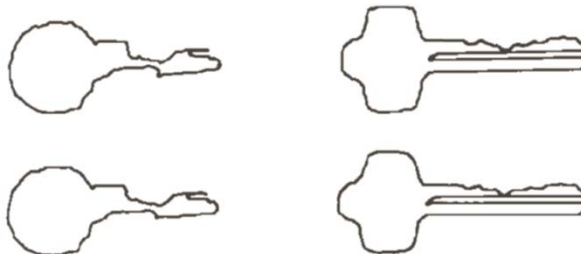


# Digital Image Processing, 3rd ed.

Gonzalez & Woods

[www.ImageProcessingPlace.com](http://www.ImageProcessingPlace.com)

## Chapter 12 Object Recognition



a	b
c	d
e	f
g	

**FIGURE 12.25**  
(a) and (b)  
Sample  
boundaries of two  
different object  
classes; (c) and  
(d) their  
corresponding  
polygonal  
approximations;  
(e)–(g) tabula-  
tions of  $R$ .  
(Sze and Yang.)

$R$	1.a	1.b	1.c	1.d	1.e	1.f
1.a	$\infty$					
1.b	16.0	$\infty$				
1.c	9.6	26.3	$\infty$			
1.d	5.1	8.1	10.3	$\infty$		
1.e	4.7	7.2	10.3	14.2	$\infty$	
1.f	4.7	7.2	10.3	8.4	23.7	$\infty$

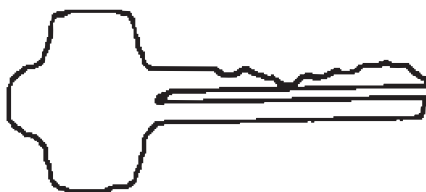
$R$	2.a	2.b	2.c	2.d	2.e	2.f
2.a	$\infty$					
2.b	33.5	$\infty$				
2.c	4.8	5.8	$\infty$			
2.d	3.6	4.2	19.3	$\infty$		
2.e	2.8	3.3	9.2	18.3	$\infty$	
2.f	2.6	3.0	7.7	13.5	27.0	$\infty$

$R$	1.a	1.b	1.c	1.d	1.e	1.f
2.a	1.24	1.50	1.32	1.47	1.55	1.48
2.b	1.18	1.43	1.32	1.47	1.55	1.48
2.c	1.02	1.18	1.19	1.32	1.39	1.48
2.d	1.02	1.18	1.19	1.32	1.29	1.40
2.e	0.93	1.07	1.08	1.19	1.24	1.25
2.f	0.89	1.02	1.02	1.24	1.22	1.18

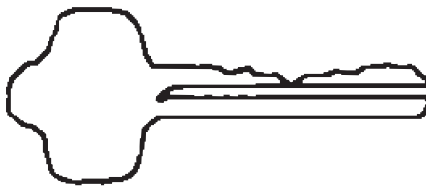
## روش‌های ساختاری

تطابق رشته‌ها: مثال (۱ از ۲)

### STRUCTURAL METHODS: STRING MATCHING



مرزهای نمونه از  
دو طبقه شیء مختلف



تقریب‌های چندضلعی متناظر

رشته‌ها از روی چندضلعی‌ها تشكيل شده‌اند:

با محاسبه‌ی زاویه‌ی داخلی  $\theta$  بین قطعات مرز با پیمایش ساعت‌گرد چندضلعی

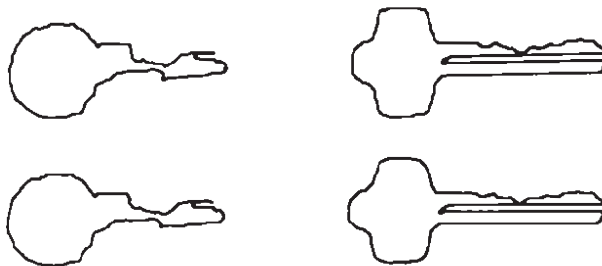
هر زاویه با یکی از هشت نماد ممکن زیر (گام‌های ۴۵ درجه‌ای) کد می‌شود:

$$\alpha_1: 0^\circ < \theta \leq 45^\circ; \alpha_2: 45^\circ < \theta \leq 90^\circ; \dots; \alpha_8: 315^\circ < \theta \leq 360^\circ.$$

## روش‌های ساختاری

تطابق رشته‌ها: مثال (۲ از ۲)

### STRUCTURAL METHODS: STRING MATCHING



۶ نمونه از طبقه‌ی ۱ داریم:

معیار  $R$  را مابین آنها محاسبه می‌کنیم. (به‌طور مشابه برای طبقه‌ی ۲)

(1.c) یعنی سومین نمونه [رشته] از طبقه‌ی ۱

۶ نمونه از طبقه‌ی ۱ داریم را با ۶ نمونه از طبقه‌ی ۲ مقایسه می‌کنیم:

شباهت‌ها (مقادیر  $R$ )

در جدول آخر بسیار کوچکتر از دو جدول قبلی است.

معیار  $R$  به درجه‌ی بالایی از تفکیک بین اشیای دو طبقه رسیده است.

$R$	1.a	1.b	1.c	1.d	1.e	1.f
1.a	$\infty$					
1.b	16.0	$\infty$				
1.c	9.6	26.3	$\infty$			
1.d	5.1	8.1	10.3	$\infty$		
1.e	4.7	7.2	10.3	14.2	$\infty$	
1.f	4.7	7.2	10.3	8.4	23.7	$\infty$

$R$	2.a	2.b	2.c	2.d	2.e	2.f
2.a	$\infty$					
2.b	33.5	$\infty$				
2.c	4.8	5.8	$\infty$			
2.d	3.6	4.2	19.3	$\infty$		
2.e	2.8	3.3	9.2	18.3	$\infty$	
2.f	2.6	3.0	7.7	13.5	27.0	$\infty$

$R$	1.a	1.b	1.c	1.d	1.e	1.f
2.a	1.24	1.50	1.32	1.47	1.55	1.48
2.b	1.18	1.43	1.32	1.47	1.55	1.48
2.c	1.02	1.18	1.19	1.32	1.39	1.48
2.d	1.02	1.18	1.19	1.32	1.29	1.40
2.e	0.93	1.07	1.08	1.19	1.24	1.25
2.f	0.89	1.02	1.02	1.24	1.22	1.18

## روش‌های ساختاری

بازشناسی نحوی رشته‌ها

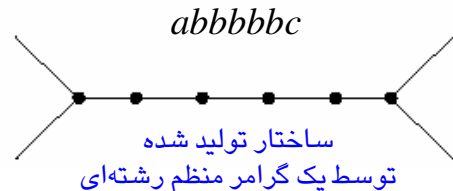
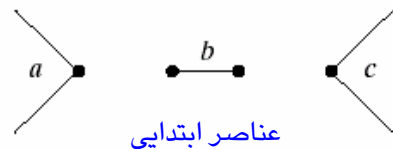
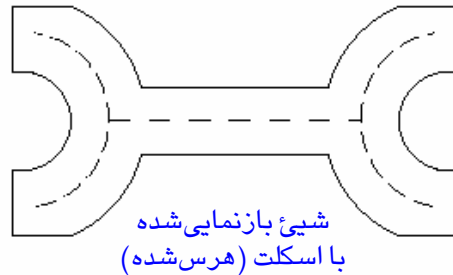
### STRUCTURAL METHODS: SYNTACTIC RECOGNITION OF STRINGS

#### گرامرهاي رشته‌اي String Grammars

گام ۱:

تولید طبقه‌ی شیء

توسط یک گرامر منظم رشته‌ای انجام می‌شود.



## روش‌های ساختاری

بازشناسی نحوی رشته‌ها

### STRUCTURAL METHODS: SYNTACTIC RECOGNITION OF STRINGS

#### گرامرهاي رشته‌اي

*String Grammars*

: ۲

از معنا استفاده می‌کنیم.  
(قواعد تولید)

Production	Semantic Information
$S \rightarrow aA$	Connections to $a$ are made only at the dot. The direction of $a$ , denoted $\theta$ , is given by the direction of the perpendicular bisector of the line joining the end points of the two undotted segments. The line segments are 3 cm each.
$A \rightarrow bA$	Connections to $b$ are made only at the dots. No multiple connections are allowed. The direction of $b$ must be the same as the direction of $a$ . The length of $b$ is 0.25 cm. This production cannot be applied more than 10 times.
$A \rightarrow bB$	The direction of $a$ and $b$ must be the same. Connections must be simple and made only at the dots.
$B \rightarrow c$	The direction of $c$ and $a$ must be the same. Connections must be simple and made only at the dots.

## روش‌های ساختاری

بازشناسی نحوی رشته‌ها

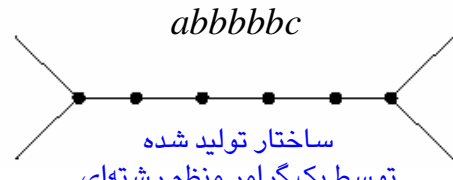
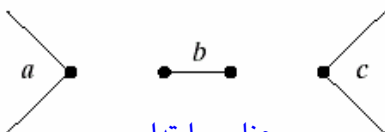
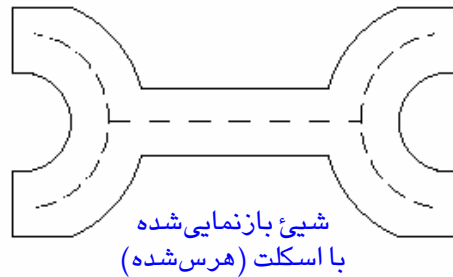
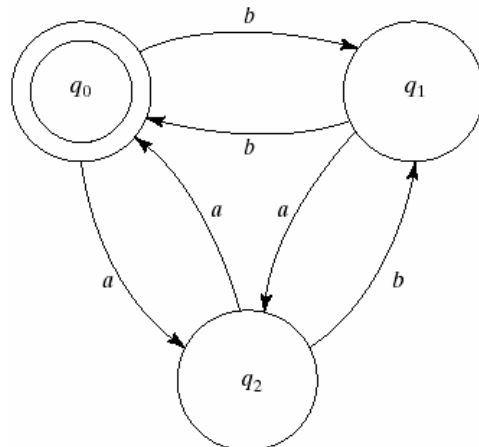
### STRUCTURAL METHODS: SYNTACTIC RECOGNITION OF STRINGS

#### گرامرهاي رشته‌اي

String Grammars

گام ۳:

از آutomاتای متناهی به عنوان  
بازشناسی کننده‌ی رشته‌ای استفاده می‌کنیم.



## روش‌های ساختاری

بازشناسی نحوی رشته‌ها

### STRUCTURAL METHODS: SYNTACTIC RECOGNITION OF STRINGS

#### گرامرهای درختی

*Tree Grammars*

گام ۱:

تولید طبقه‌ی شیئ

توسط یک گرامر درختی انجام می‌شود.

مثال

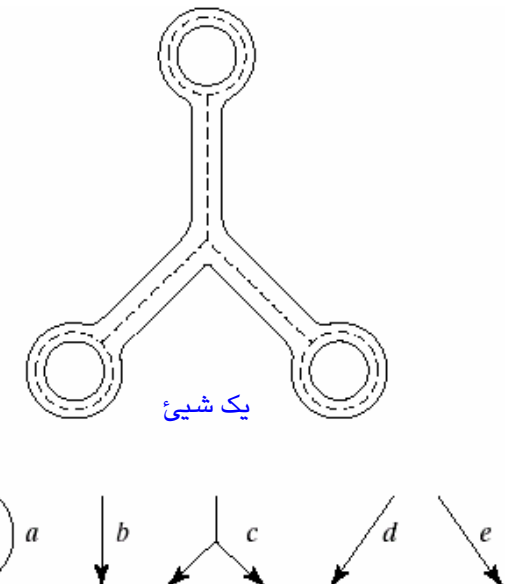
$$S \rightarrow a$$

$$\begin{array}{c} | \\ X_1 \end{array}$$

$$X_1 \rightarrow c$$

$$\begin{array}{c} / \quad \backslash \end{array}$$

$$X_2 \quad X_3$$



عناصر ابتدایی  
مورد استفاده برای بازنمایی اسکلت  
به وسیله‌ی یک گرامر درختی

## روش‌های ساختاری

بازشناسی نحوی رشته‌ها

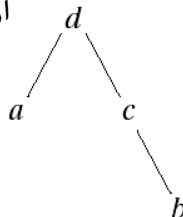
### STRUCTURAL METHODS: SYNTACTIC RECOGNITION OF STRINGS

#### گرامرهای درختی

*Tree Grammars*

#### گام ۲:

از آutomاتای درختی به عنوان بازشناسی‌کننده‌ی استفاده می‌کنیم.



$$S \rightarrow a$$

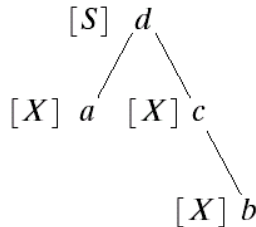
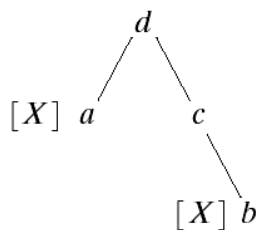
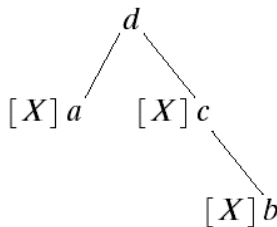
|

$$X_1$$

$$X_1 \rightarrow c$$

/

$$X_2 \quad X_3$$



a  
b  
c  
d

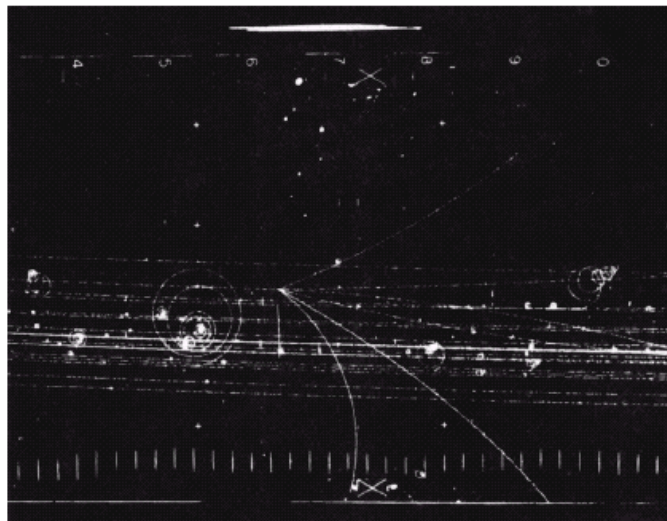
Processing stages of a frontier-to-root tree automaton:

- (a) Input tree.
- (b) State assignment to frontier nodes.
- (c) State assignment to intermediate nodes.
- (d) State assignment to root node.

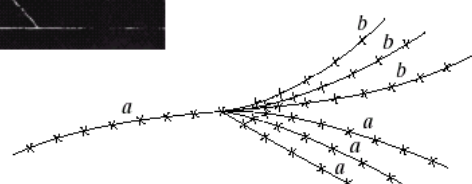
## روش‌های ساختاری

بازشناسی نحوی رشته‌ها: مثال

### STRUCTURAL METHODS: SYNTACTIC RECOGNITION OF STRINGS

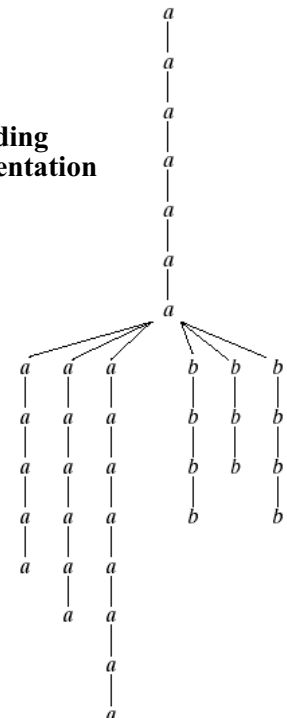


A bubble chamber photograph



Coded event

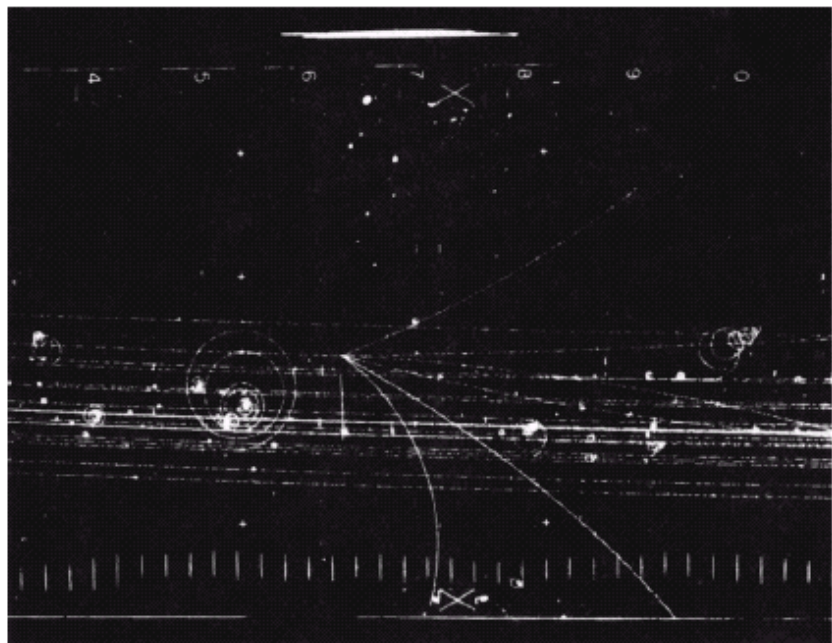
Corresponding  
tree representation



## بازشناسی نحوی رشته‌ها

STRUCTURAL METHODS: SYNTACTIC RECOGNITION OF STRINGS

**FIGURE 12.30** A bubble chamber photograph. (Fu and Bhargava.)

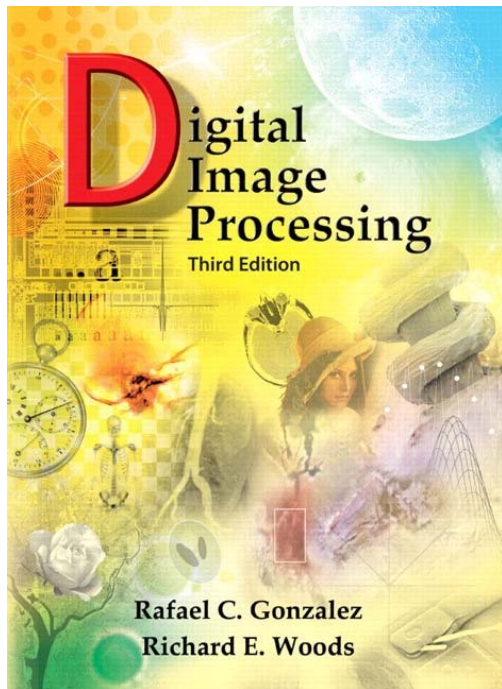


بازشناسی اشیا

۴

# منابع

## منبع اصلی



Rafael C. Gonzalez, Richard E. Woods,  
**Digital Image Processing**,  
Third Edition, Pearson Prentice Hall, 2008.  
**Chapter 12**